
第三章：线性系统的时域分析

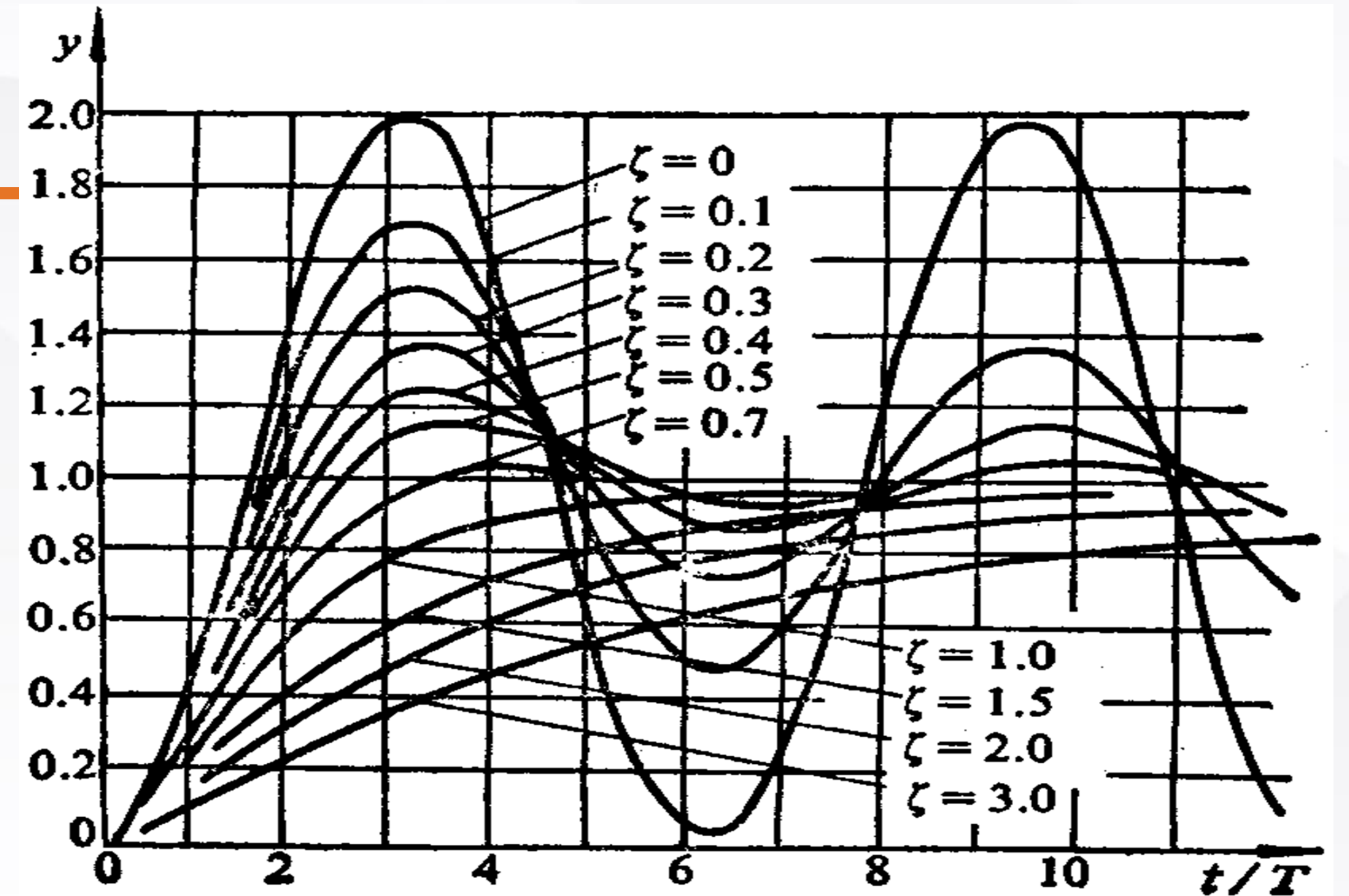
线性系统时域分析

- **时域分析方法：**在时域内直接分析的方法
 - 根据系统微分方程，求出系统的时间响应（**计算大**），依据响应来分析系统的性能，甚至找出系统结构、参数与性能之间的关系。
 - **设法从微分方程直接判断运动的主要特征**比精确求解微分方程更实用。
 - 未必能精确解出微分方程，但能揭示运动的主要特征，提示影响运动的主要参数，从而指导改进对象的性能。
 - 性能指标：**稳、快、准**
 - 负反馈是实现控制的基本方法，**不恰当的负反馈会导致系统不稳定**，负反馈**系统稳定但运动品质有优劣之分**。

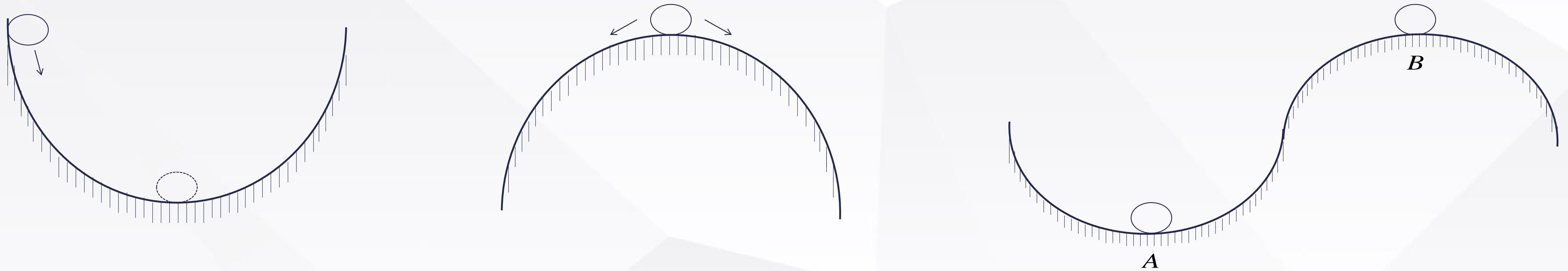
线性系统时域分析

- **学习内容:**

- 线性系统的稳定性分析
- 线性系统的静态误差计算
- 控制系统的动态时间响应
- 一阶系统、二阶系统、高阶系统的时域分析



运动的稳定性



稳定与不稳定运动示意图

运动的稳定性

随动系统是一个四阶微分方程，代入参数得

$$0.025\varphi^{(4)} + 0.55\varphi^{(3)} + 1.5\varphi'' + \varphi' + \varphi = \psi$$

特征方程

$$0.025s^4 + 0.55s^3 + 1.5s^2 + s + 1 = 0$$

特征根

$$s_1 = -18.94, s_2 = -2.61, s_{3,4} = -0.228 \pm j0.871$$

$$\varphi(t) = Ae^{s_1 t} + Be^{s_2 t} + Ce^{-0.228t} \sin(0.871t + \theta) + \varphi^*(t) (\varphi^*(t) \text{为特解})$$

A 、 B 、 C 、 θ 由初始条件求出

当 $t \rightarrow \infty$ ，前三项 $\rightarrow 0$ ， $\varphi(t) \rightarrow \varphi^*(t)$

若将 k (k 为开环比例系数) 增大10倍，重新解方程得：

$$s_1 = -18.87, s_2 = -4.13, s_{3,4} = 0.501 \pm j2.21$$

运动的稳定性

从而, $\varphi(t) = Ae^{s_1 t} + Be^{s_2 t} + Ce^{0.501t} \sin(2.21t + \theta) + \varphi^*(t)$

\therefore 只要 $C \neq 0$, 当 $t \rightarrow \infty$, $\varphi(t) \rightarrow \infty$, 达不到 $\varphi^*(t)$

可见 $\varphi(t)$ 取决于特征根, 组成 $\varphi(t)$ 的分量, 诸如 $e^{\lambda_i t}$, 称作运动模态。

结论: 线性系统稳定的充分必要条件是**特征方程的根必须具有负实部, 即特征根都在 s 平面的左半平面。**

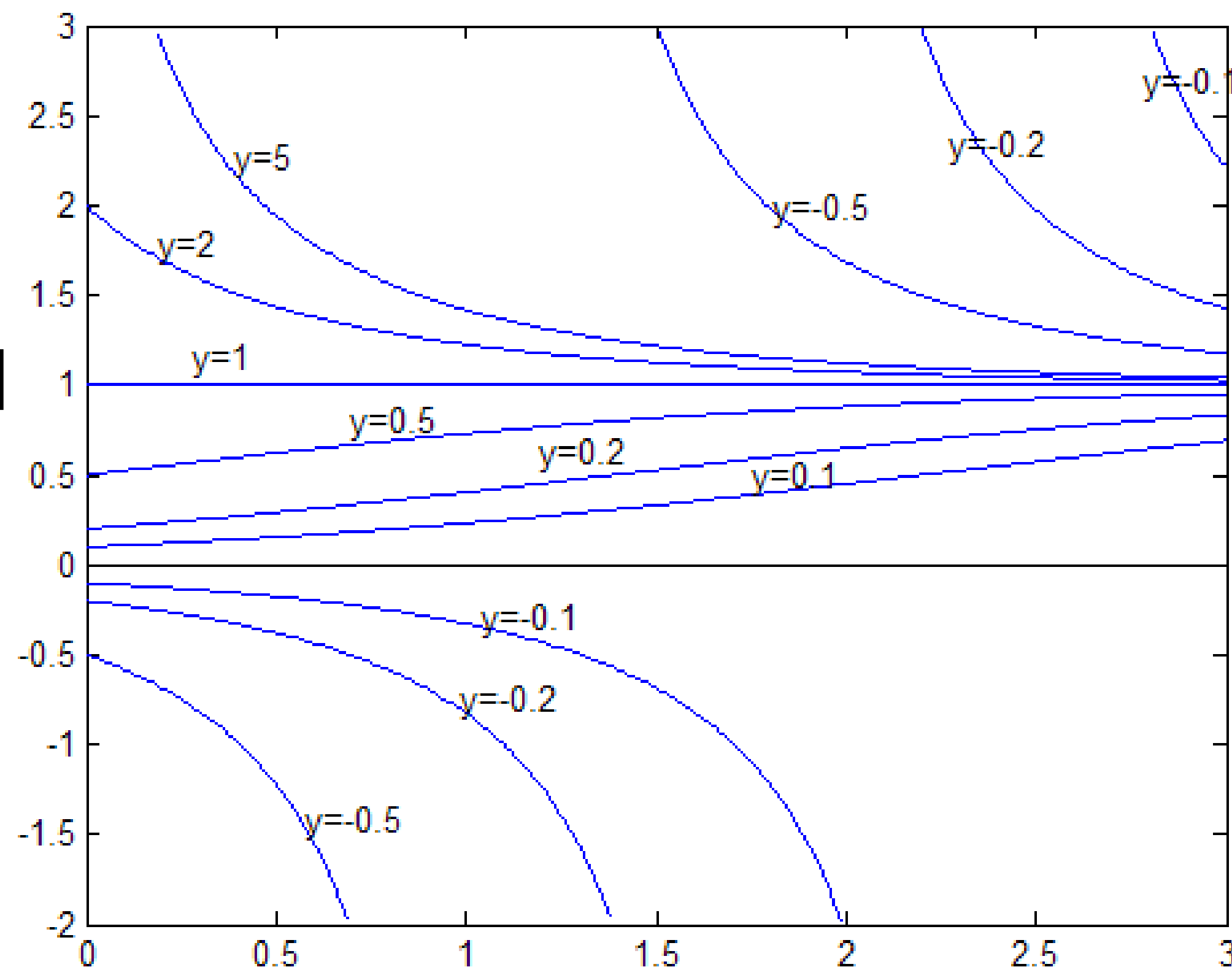
对于非线性方程, 在有些初始条件下解能达到一种确定的状态, 称为稳定的运动, 而在另一些初始条件下的解表现为不稳定的运动。所以, **对于一个非线性系统, 不能笼统地称系统稳定与否, 而只能说哪些状态是稳定的, 哪些是不稳定的。**

见教科书p184图3.2.1例

运动的稳定性

$$\frac{dy}{dt} + y(y - 1) = 0, \quad y(0) = y_0 \quad \text{解析解为: } y(t) = \frac{1}{1 - (1 - \frac{1}{y_0})e^{-t}}$$

不同初值 y_0 下解的曲线:



平衡态 $y=1$

平衡态 $y=0$

$$y_0 = 1, \quad y(t) = 1$$

$$y_0 = 2, \quad y(t) = \frac{1}{1 - \frac{1}{2}e^{-t}}$$

$$y_0 = -0.5, \quad y(t) = \frac{1}{1 - 3e^{-t}}$$

稳定性的Lyapunov定义

数学知识：高阶微分方程可化成一阶微分方程组

$$a_3 x^{(3)} + a_2 x'' + a_1 x' + a_0 x = u$$

$$\text{设: } \begin{cases} x_1 = x \\ x_2 = x' \\ x_3 = x'' \end{cases} \quad \text{有: } \begin{cases} \dot{x}_1 = x_2 \\ \dot{x}_2 = x_3 \\ \dot{x}_3 = \frac{1}{a_3} (-a_0 x_1 - a_1 x_2 - a_2 x_3) + \frac{1}{a_3} u \end{cases}$$

$$\begin{bmatrix} \dot{x}_1 \\ \dot{x}_2 \\ \dot{x}_3 \end{bmatrix} = \begin{bmatrix} 0 & 1 & 0 \\ 0 & 0 & 1 \\ -\frac{a_0}{a_3} & -\frac{a_1}{a_3} & -\frac{a_2}{a_3} \end{bmatrix} \begin{bmatrix} x_1 \\ x_2 \\ x_3 \end{bmatrix} + \begin{bmatrix} 0 \\ 0 \\ \frac{1}{a_3} \end{bmatrix} u$$

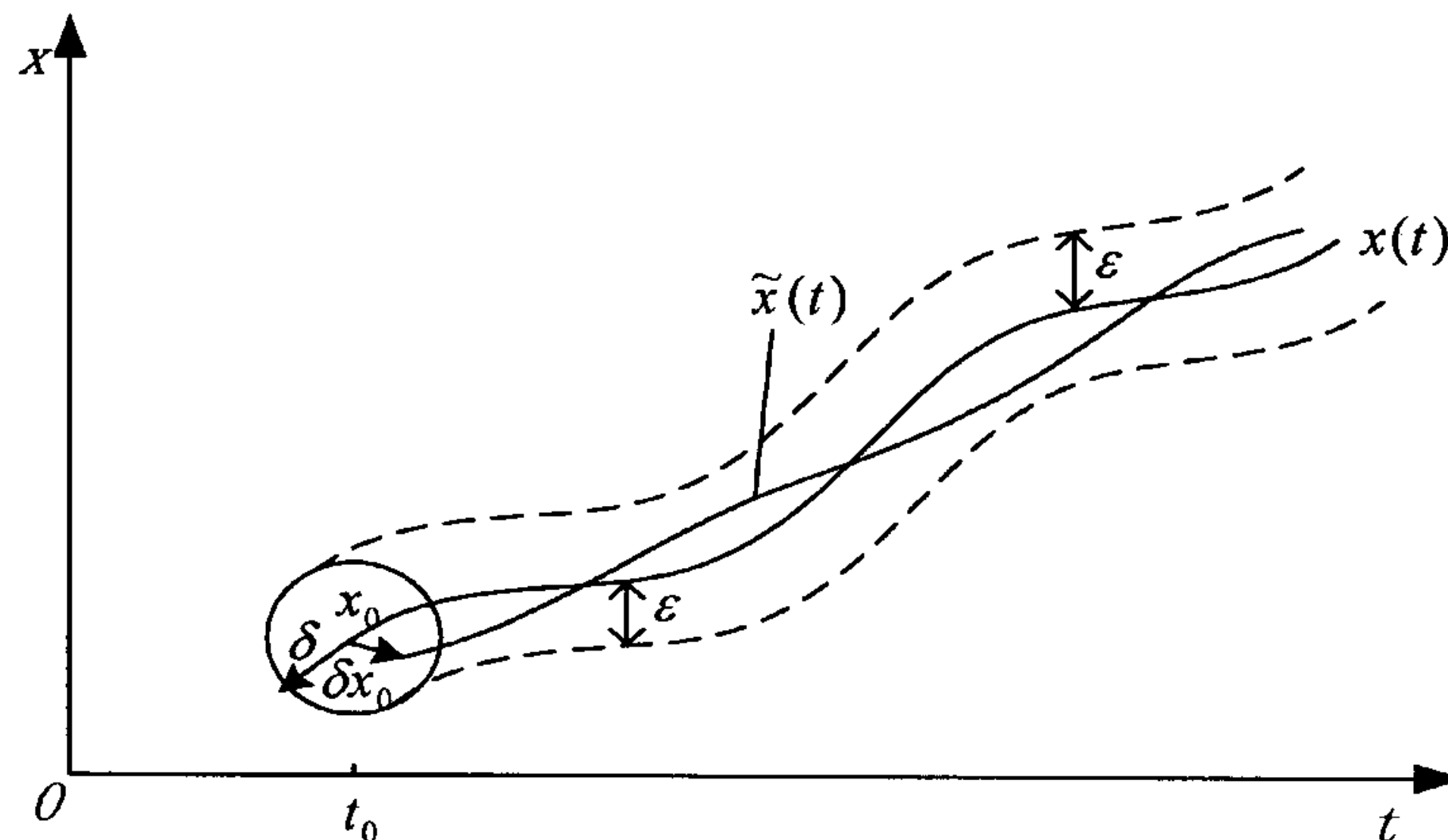
系统的变换可用状态向量在高维空间中的运动轨迹描述

稳定性的Lyapunov定义

1. Lyapunov稳定性定义

$$\dot{X} = f(X, t, u)$$

如果一个关于 X 的微分方程组，在初始条件 $X(t_0) = X_0$ 下有解 $X(t)$ ，且对于任意给定的正数 $\varepsilon > 0$ ，总存在一个正数 $\delta(\varepsilon) > 0$ ，当初始条件 X_0 变为 \tilde{X}_0 时，只要 $\|\tilde{X}_0 - X_0\| \leq \delta$ ，其相应解 $\tilde{X}(t)$ 在 $t > t_0$ 的任何时刻都满足 $\|\tilde{X}(t) - X(t)\| < \varepsilon$ ，则称解 $X(t)$ 是稳定的。如果不存在这样的正数 δ ，则称解 $X(t)$ 是不稳定的。



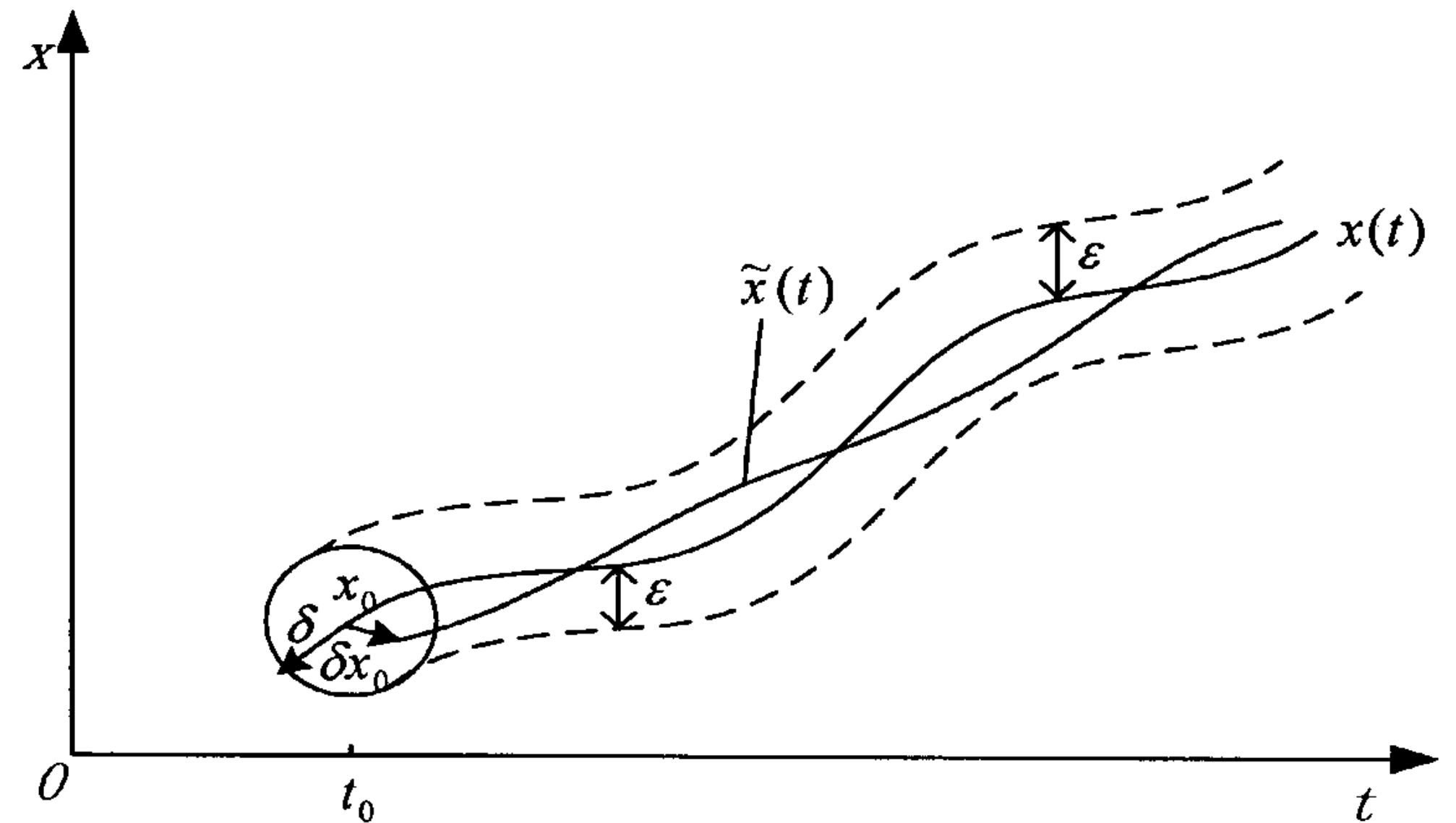
稳定性的Lyapunov定义

- 大范围稳定

δ 任意大，即任意初始状态点都趋近稳定

- 渐进稳定

稳定，存在 δ ， $\tilde{x}(t)$ 随着时间的增大无限趋于 $x(t)$



例： $\ddot{x} + \omega^2 x = 0$

$$x(t) = a \sin(\omega t + \theta)$$

工程上通常要求系统具有大范围渐近稳定性。

临界稳定但不是渐近稳定

稳定性的Lyapunov定义

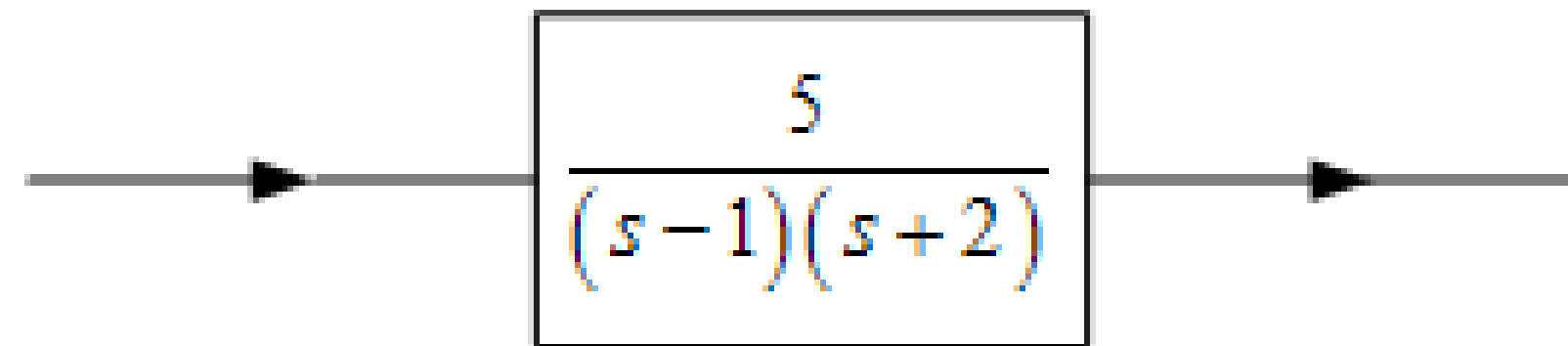
Lyapunov第一方法（见教科书P190）

- 若线性化后系统特征方程的所有根均位于复平面的左半平面，则原系统的运动不但是稳定的而且是渐近稳定的。线性化过程中被忽略的高阶项不会影响系统的稳定性。
- 若线性化后系统特征方程只要有一个根位于复平面的右半平面，则原系统的运动就是不稳定的。被忽略的高阶项不会改变系统的不稳定性。
- 若线性化后系统特征方程的根都不位于复平面的右半平面，但有一些位于虚轴上，则不能根据线性化后的系统来判断原系统的运动的稳定性，必须分析原非线性系统才能确定。

一般而言，Lyapunov第一方法只适用于无穷小范围内的稳定性判断。

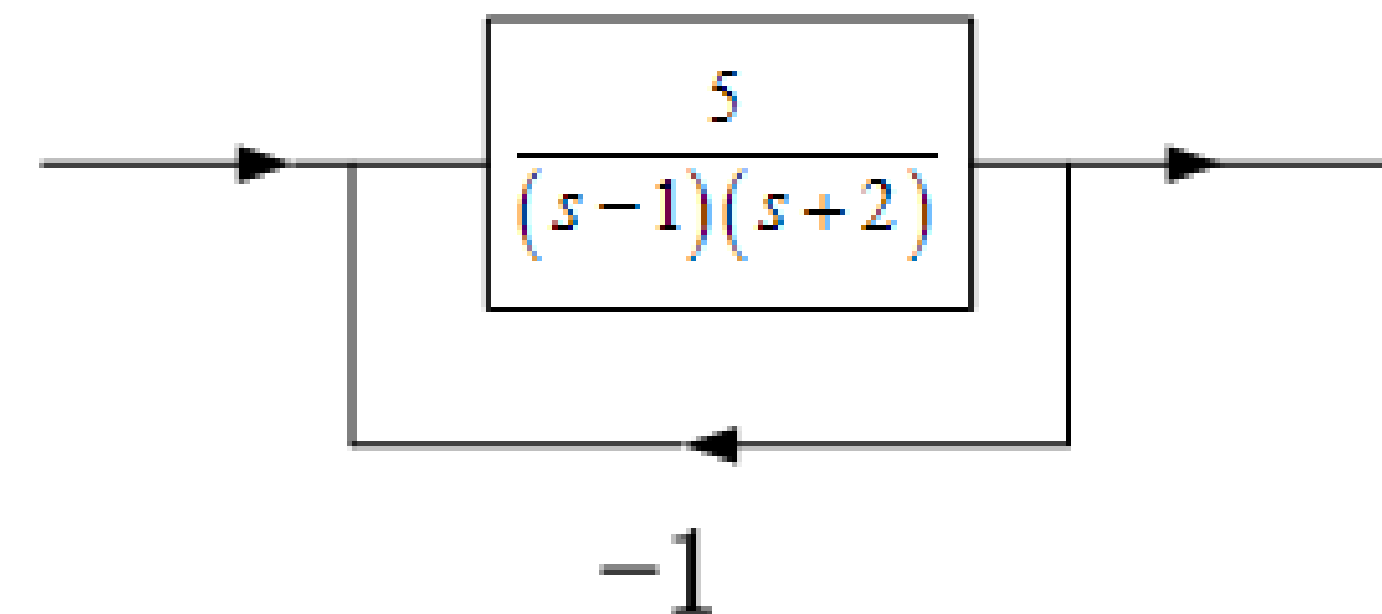
负反馈是实现稳定的基本方法

开环不稳定系统闭环可能稳定



极点为1和-2，存在正根，不稳定。

加反馈后



$G(s) = \frac{5}{s^2 + s + 3}$ ，极点为 $\frac{-1 \pm i\sqrt{11}}{2}$ ，实部小于0，稳定。

稳定性的代数判据

根据微分方程的特征方程的系数，不解方程来判断是否有右半平面的根。

Routh和Hurwitz分别独立提出了稳定性判据，其功能是判断一个代数多项式有几个根位于复数平面的右半面。

例1：特征方程

$$2s^6 + 5s^5 + 3s^4 + 4s^3 + 6s^2 + 14s + 7 = 0$$

构造Routh表，如下：

Routh判据

例1 特征方程 $2s^6 + 5s^5 + 3s^4 + 4s^3 + 6s^2 + 14s + 7 = 0$


| | | | | |
|-------|---|--|---|----------|
| s^6 | $s^6: 2$ | $s^4: 3$ | $s^2: 6$ | $s^0: 7$ |
| s^5 | $s^5: 5$ | $s^3: 4$ | $s^1: 14$ | |
| s^4 | $-\frac{1}{5} \begin{vmatrix} 2 & 3 \\ 5 & 4 \end{vmatrix} = \frac{7}{5}$ | $-\frac{1}{5} \begin{vmatrix} 2 & 6 \\ 5 & 14 \end{vmatrix} = \frac{2}{5}$ | $-\frac{1}{5} \begin{vmatrix} 2 & 7 \\ 5 & 0 \end{vmatrix} = 7$ | |
| s^3 | $\frac{18}{7}$ | -11 | | |
| s^2 | $\frac{115}{18}$ | 7 | | |
| s^1 | $-\frac{1589}{115}$ | | | |
| s^0 | 7 | | | |

$$\frac{18}{7} = -\frac{5}{7} \begin{vmatrix} 5 & 4 \\ 7 & 2 \\ 5 & 5 \end{vmatrix}$$

Routh判据

例1 特征方程 $2s^6 + 5s^5 + 3s^4 + 4s^3 + 6s^2 + 14s + 7 = 0$

| | | | | |
|-------|---|--|---|---|
| s^6 | $s^6: 2$ | $s^4: 3$ | $s^2: 6$ | $s^0: 7$ |
| s^5 | $s^5: 5$ | $s^3: 4$ | $s^1: 14$ | |
| s^4 | $-\frac{1}{5} \begin{vmatrix} 2 & 3 \\ 5 & 4 \end{vmatrix} = \frac{7}{5}$ | $-\frac{1}{5} \begin{vmatrix} 2 & 6 \\ 5 & 14 \end{vmatrix} = \frac{2}{5}$ | $-\frac{1}{5} \begin{vmatrix} 2 & 7 \\ 5 & 0 \end{vmatrix} = 7$ | |
| s^3 | $\frac{18}{7}$ | -11 | | <ul style="list-style-type: none">• 第一列系数全为正是系统稳定的充分必要条件。• 出现负号说明有右半平面的根，变号的次数对应于右半平面根的个数。 |
| s^2 | $\frac{115}{18}$ | 7 | | |
| s^1 | $-\frac{1589}{115}$ | | | |
| s^0 | 7 | | | |



一次变号

二次变号

Routh判据

例2 特征方程 $s^4 + 5s^3 + 10s^2 + 20s + 24 = 0$

- 第一列系数出现0, 用小正数 ϵ 代替。
- $\epsilon > 0$ 时判断符号
- 若 ϵ 处上下元素符号相同, 表示有一对纯虚根; 不相同则表示一次变号。

| | | | |
|-------|--|--|----|
| s^4 | 1 | 10 | 24 |
| s^3 | 5 | 20 | |
| s^2 | $-\frac{1}{5} \left \begin{array}{cc} 1 & 10 \\ 5 & 20 \end{array} \right = 6$ | $-\frac{1}{5} \left \begin{array}{cc} 1 & 24 \\ 5 & 0 \end{array} \right = 24$ | |
| s^1 | $-\frac{1}{6} \left \begin{array}{cc} 5 & 20 \\ 6 & 24 \end{array} \right = 0(\epsilon)$ | | |
| s^0 | $-\frac{1}{\epsilon} \left \begin{array}{cc} 6 & 24 \\ \epsilon & 0 \end{array} \right = 24$ | | |

此例解得根为 $\pm 2j, -2, -3$

Routh判据

例3 特征方程 $s^3 - 3s + 2 = 0$

| | | |
|-------|---|----|
| s^3 | 1 | -3 |
| s^2 | $0(\epsilon)$ | 2 |
| s^1 | $-\frac{1}{\epsilon} \left \begin{array}{cc} 1 & -3 \\ \epsilon & 2 \end{array} \right = -3 - \frac{2}{\epsilon}$ | |
| s^0 | 2 | |

一次变号

二次变号

此例解得根为
1, 1, -2

两次变号，说明有两个根在右半平面。

Routh判据

例4 特征方程 $s^5 + 2s^4 + 24s^3 + 48s^2 - 25s - 50 = 0$

| | | | |
|-------|-------|-------|-----|
| s^5 | 1 | 24 | -25 |
| s^4 | 2 | 48 | -50 |
| s^3 | 0(8) | 0(96) | |
| s^2 | 24 | -50 | |
| s^1 | 112.7 | | |
| s^0 | -50 | | |

出现全零行时构造辅助多项式 $2s^4 + 48s^2 - 50$ ，以求导所得 $8s^3 + 96s$ 代替全零行

Routh判据

例4 特征方程 $s^5 + 2s^4 + 24s^3 + 48s^2 - 25s - 50 = 0$

| | | | | |
|-------|-------|-----------------------------------|-----|-----|
| s^5 | 1 | 24 | -25 | |
| s^4 | 2 | 0上下同号说明有一对纯虚根 | | -50 |
| s^3 | 0(8) | 0(96) | | |
| s^2 | 24 | 出现全0行说明有一对大小相等原点对称 | | |
| s^1 | 112.7 | 的根(由辅助多项式 $2s^4 + 48s^2 - 50$ 解出) | | |
| s^0 | -50 | 一次变号说明有一个正实根 | | |

$\pm 1, \pm 5j, -2$

关于稳定的必要条件

若特征方程的根全部为负实数或实部为负的共轭复数，则特征方程一定可以分解成如下一些因式的乘积：

$$(s + \alpha), (s + \beta + j\gamma)(s + \beta - j\gamma) \quad \alpha, \beta, \gamma > 0$$

$$(s + \alpha), (s^2 + 2\beta s + \beta^2 + \gamma^2)$$

可见，特征方程全部系数必为正（幂次不缺项）。

结论：特征方程系数全为正是系统稳定的必要条件（但不充分）。

一、二、三阶系统稳定的充要条件

用Routh判据来分析一、二、三阶系统，得到稳定的充要条件：

$$a_1 s + a_0 = 0,$$

$$a_1 > 0, a_0 > 0$$

$$a_2 s^2 + a_1 s + a_0 = 0,$$

$$a_2, a_1, a_0 > 0$$

$$a_3 s^3 + a_2 s^2 + a_1 s + a_0 = 0,$$

$$a_3, a_2, a_1, a_0 > 0, \text{ 且 } a_2 a_1 > a_3 a_0$$

参数稳定性和参数稳定域

系统开环传递函数一般可表示为如下形式：

$$G(s) = \frac{k(\tau_1 s + 1) \cdots (\tau_m s + 1)}{s^\nu (T_1 s + 1) \cdots (T_n s + 1)}$$

系统参数集中体现在 k (开环比例系数)和 T_i ，是影响系统稳定的主要因素。

- 一般情况下， k 过大不利于稳定（有些特殊情况，条件稳定）
- 增大时间常数，不利于稳定
- 增多时间常数，不利于稳定

参数稳定性和参数稳定域

单参数稳定域

设单位负反馈系统的开环传递函数如下：

$$G_{\text{开}}(s) = \frac{k(\frac{1}{3}s + 1)}{s(s + 1)(2s + 1)}$$

试确定闭环系统稳定对应的k的范围。

首先列出特征方程： $1 + G_{\text{开}}(s) = 0$

$$\text{即 } s(s + 1)(2s + 1) + k\left(\frac{1}{3}s + 1\right) = 0, \quad 2s^3 + 3s^2 + \left(1 + \frac{1}{3}k\right)s + k = 0$$

根据Routh判据 $\begin{cases} k > 0 \\ 3\left(1 + \frac{1}{3}k\right) > 2k \end{cases} \therefore 0 < k < 3$ 是k的稳定范围。

参数稳定性和参数稳定域

双参数稳定域

$$G_{\text{开}}(s) = \frac{k(\tau s + 1)}{s(s + 1)(2s + 1)} \quad k, \tau > 0$$

特征方程: $2s^3 + 3s^2 + (1 + k\tau)s + k = 0$

$$3(1 + k\tau) > 2k$$

$$\tau > \frac{2}{3} - \frac{1}{k}$$

进而，可画出 $\tau - k$ 的关系曲线。

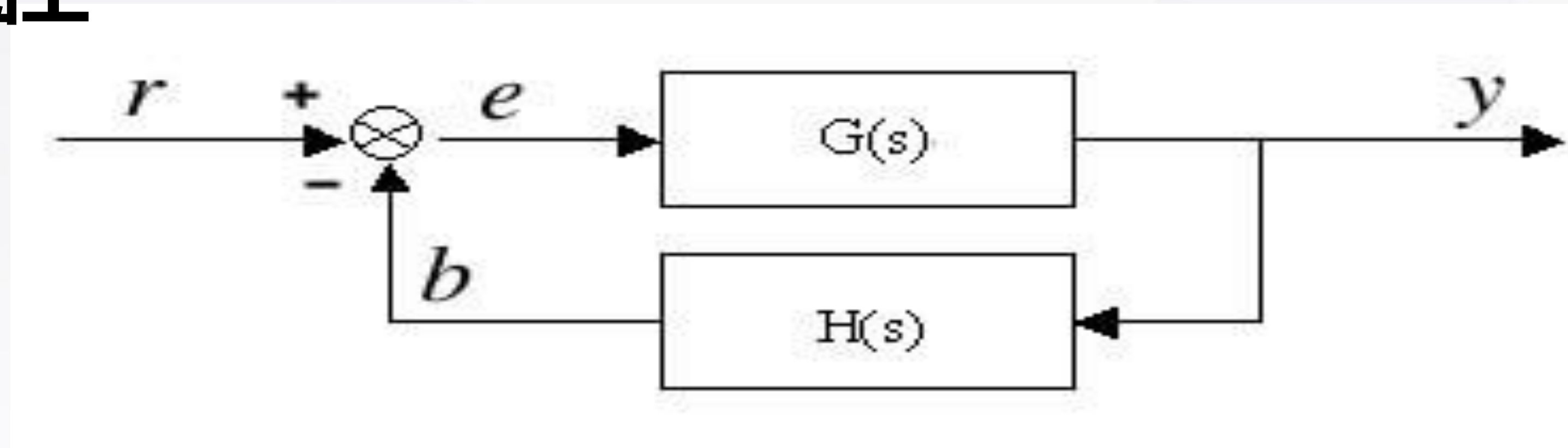
静态误差

1. 误差和静态误差定义

误差: $e_y = y_{\text{要求值}} - y_{\text{实际值}}$

静态误差: $e_y(t \rightarrow \infty)$

在框图上



$b = yH$ 反映 y 的实际值, r 体现对 y 的要求值

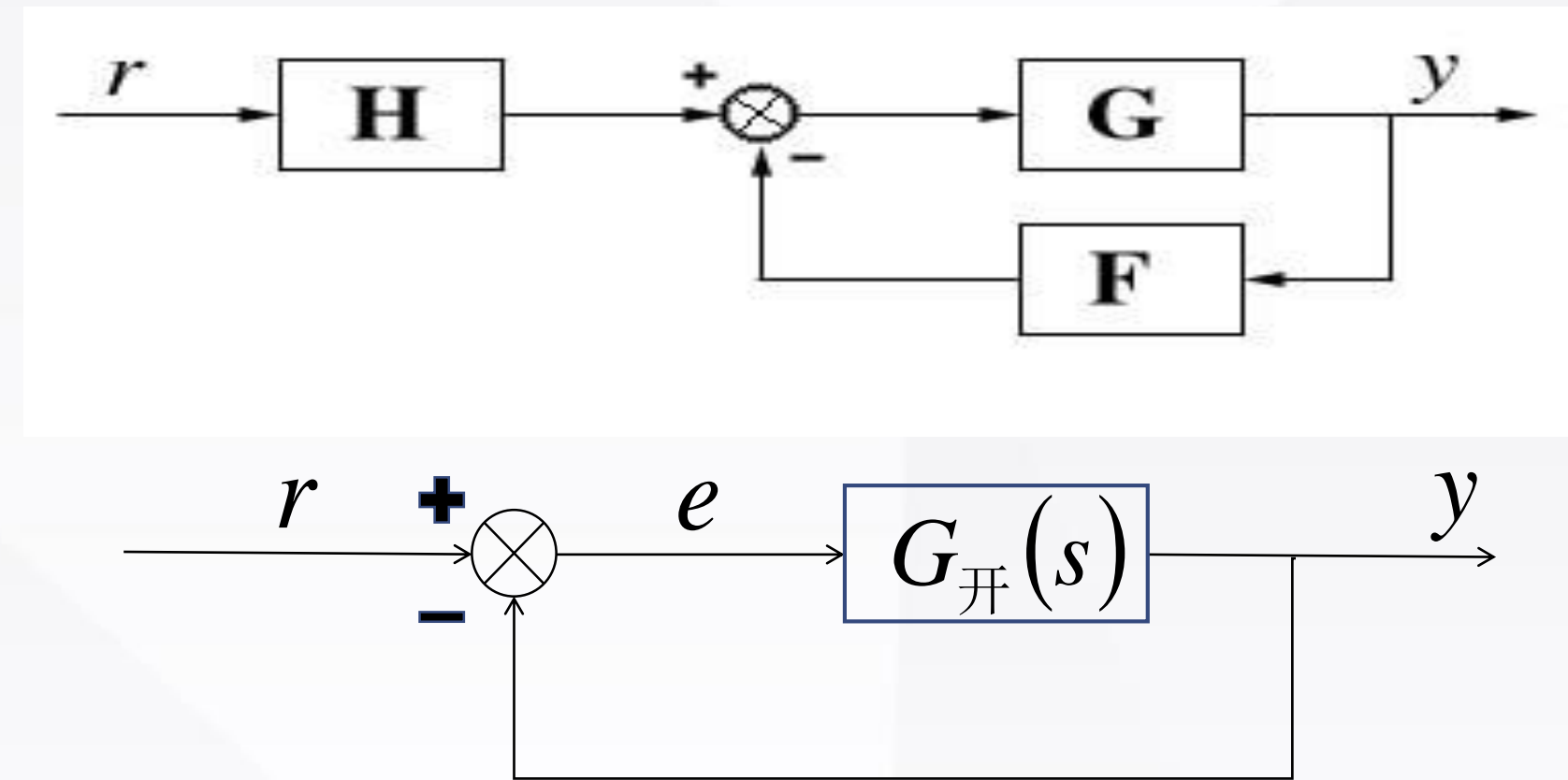
$$\therefore e = r - yH$$

静差表示系统的静态精度, 只有稳定系统才讨论静差。

静态误差

对于有些复杂情况，从框图上找不到 e ， 要求 $e = r - y$

可进行框图变换



1. 先求出 $\frac{y}{r} = \frac{HG}{1 + GF}$

2. 求出对应的 $G_{\text{开}}(s)$ ，即求出对应于闭环传递函数($G_{\text{闭}} = y/r$)

的单位负反馈的开环传递函数 $G_{\text{开}}(s)$

即 $\frac{G_{\text{开}}}{1 + G_{\text{开}}} = \frac{y}{r} = G_{\text{闭}}$

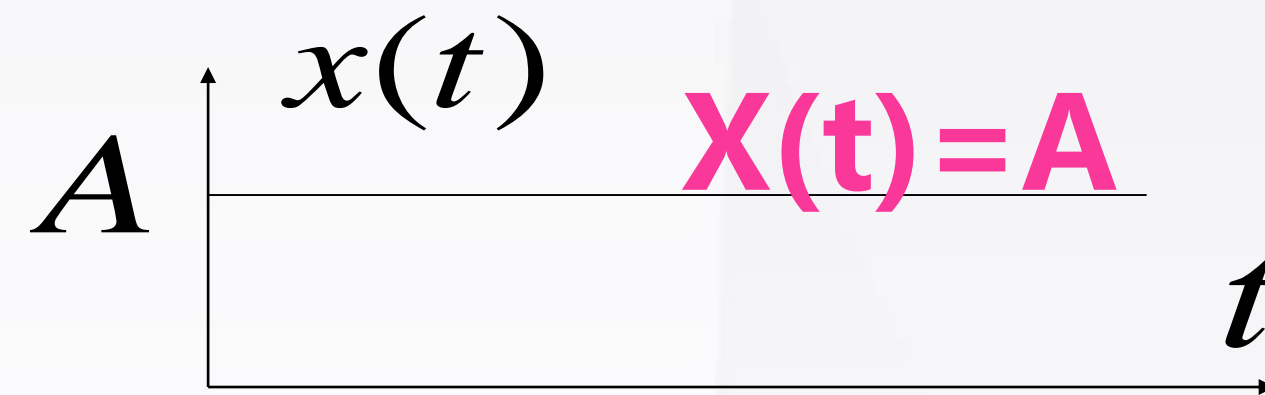
所以, $G_{\text{开}} = \frac{G_{\text{闭}}}{1 - G_{\text{闭}}} = \frac{GH}{1 + GF - GH}$

静态误差

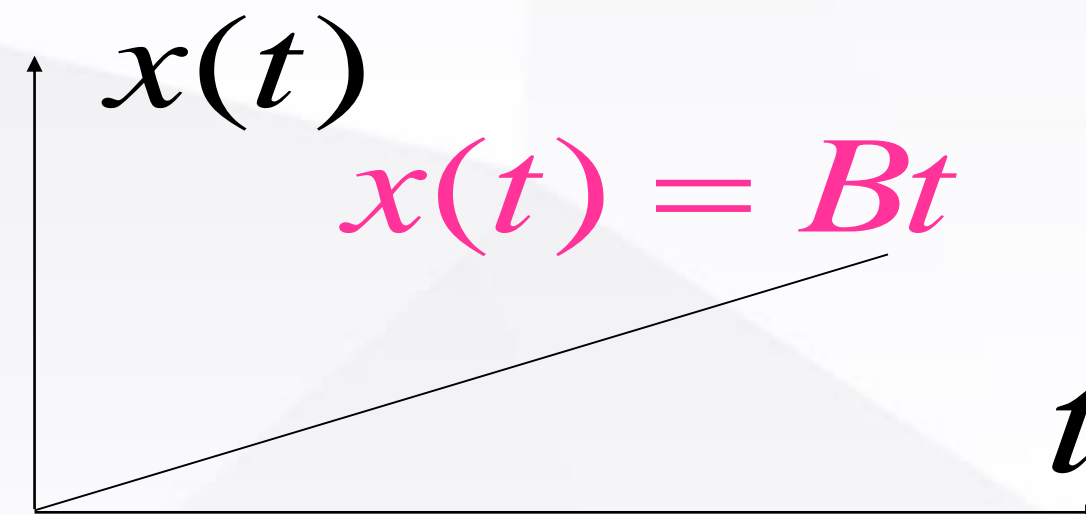
2、静差与输入

静差与输入信号有关，规定如下典型输入信号：

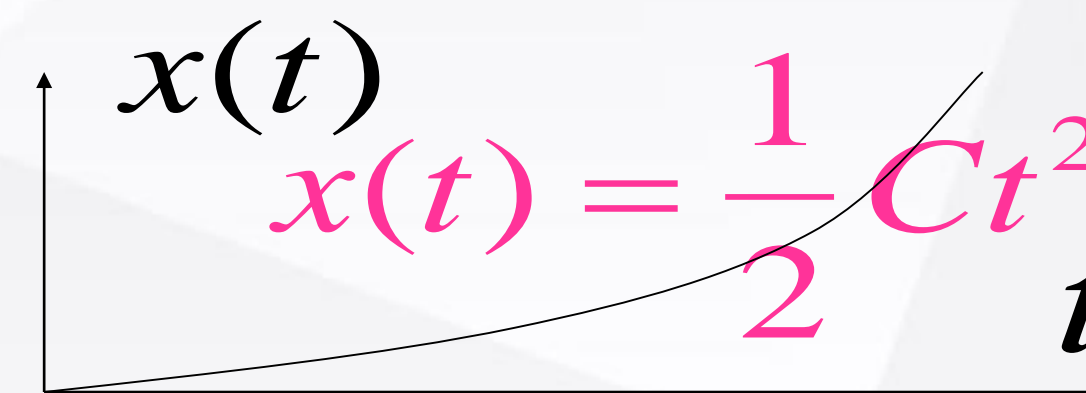
阶跃 $1(t) \rightarrow \frac{1}{s}$



斜坡 $t \rightarrow \frac{1}{s^2}$

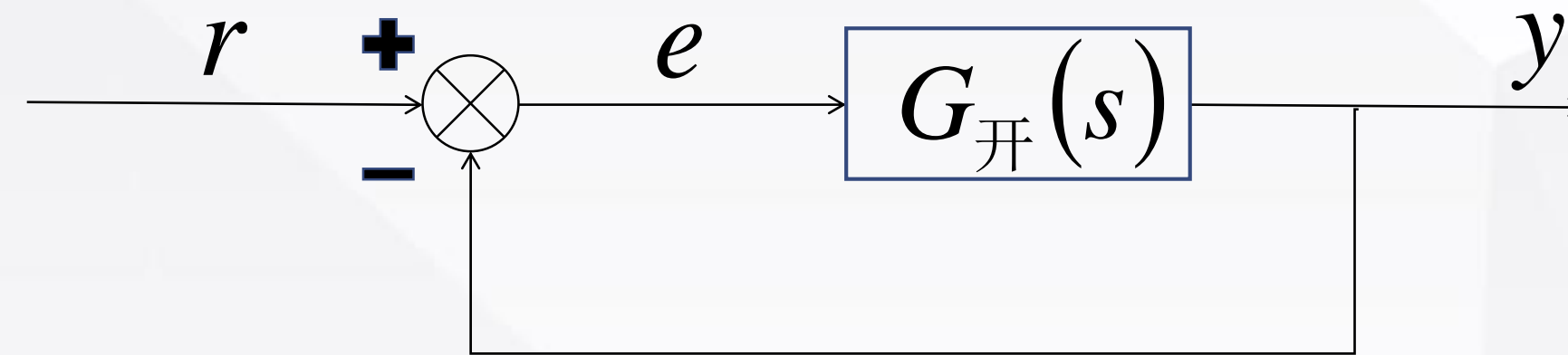


加速度 $\frac{1}{2}t^2 \rightarrow \frac{1}{s^3}$



静态误差的计算

针对一般情况



$$\frac{e(s)}{r(s)} = \frac{1}{1 + G_{\text{开}}(s)} \quad \therefore e(s) = \frac{1}{1 + G_{\text{开}}(s)} r(s)$$

可见，误差与 $G_{\text{开}}(s)$ 和输入 $r(s)$ 有关。

静态误差可用Laplace变换的终值定理求得： $e(\infty) = \lim_{s \rightarrow 0} s e(s) = e_{st}$

系统在三种典型输入信号下的静差

$$r(s) = \frac{1}{s} \quad e_{st} = \lim_{s \rightarrow 0} se(s) = \lim_{s \rightarrow 0} s \frac{1}{1 + G_{\text{开}}(s)} \frac{1}{s} = \lim_{s \rightarrow 0} \frac{1}{1 + G_{\text{开}}(s)}$$

$$r(s) = \frac{1}{s^2} \quad e_{st} = \lim_{s \rightarrow 0} se(s) = \lim_{s \rightarrow 0} s \frac{1}{1 + G_{\text{开}}(s)} \frac{1}{s^2} = \lim_{s \rightarrow 0} \frac{1}{s G_{\text{开}}(s)}$$

$$r(s) = \frac{1}{s^3} \quad e_{st} = \lim_{s \rightarrow 0} se(s) = \lim_{s \rightarrow 0} s \frac{1}{1 + G_{\text{开}}(s)} \frac{1}{s^3} = \lim_{s \rightarrow 0} \frac{1}{s^2 G_{\text{开}}(s)}$$

定义误差系数

$$k_p = \lim_{s \rightarrow 0} G_{\text{开}}(s)$$

位置误差系数

$$k_v = \lim_{s \rightarrow 0} s G_{\text{开}}(s)$$

速度误差系数

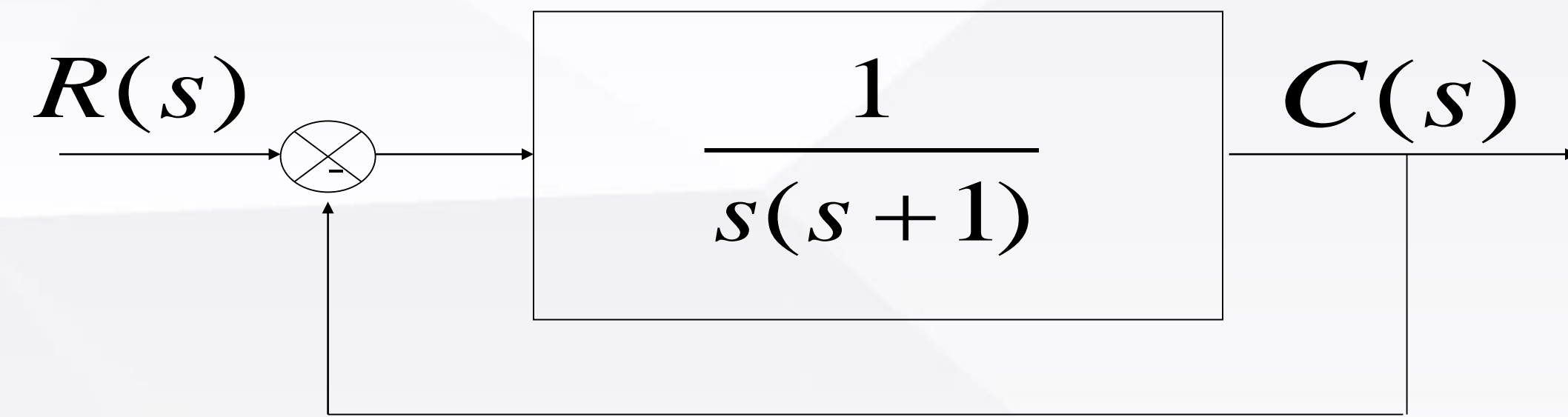
$$k_a = \lim_{s \rightarrow 0} s^2 G_{\text{开}}(s)$$

加速度误差系数

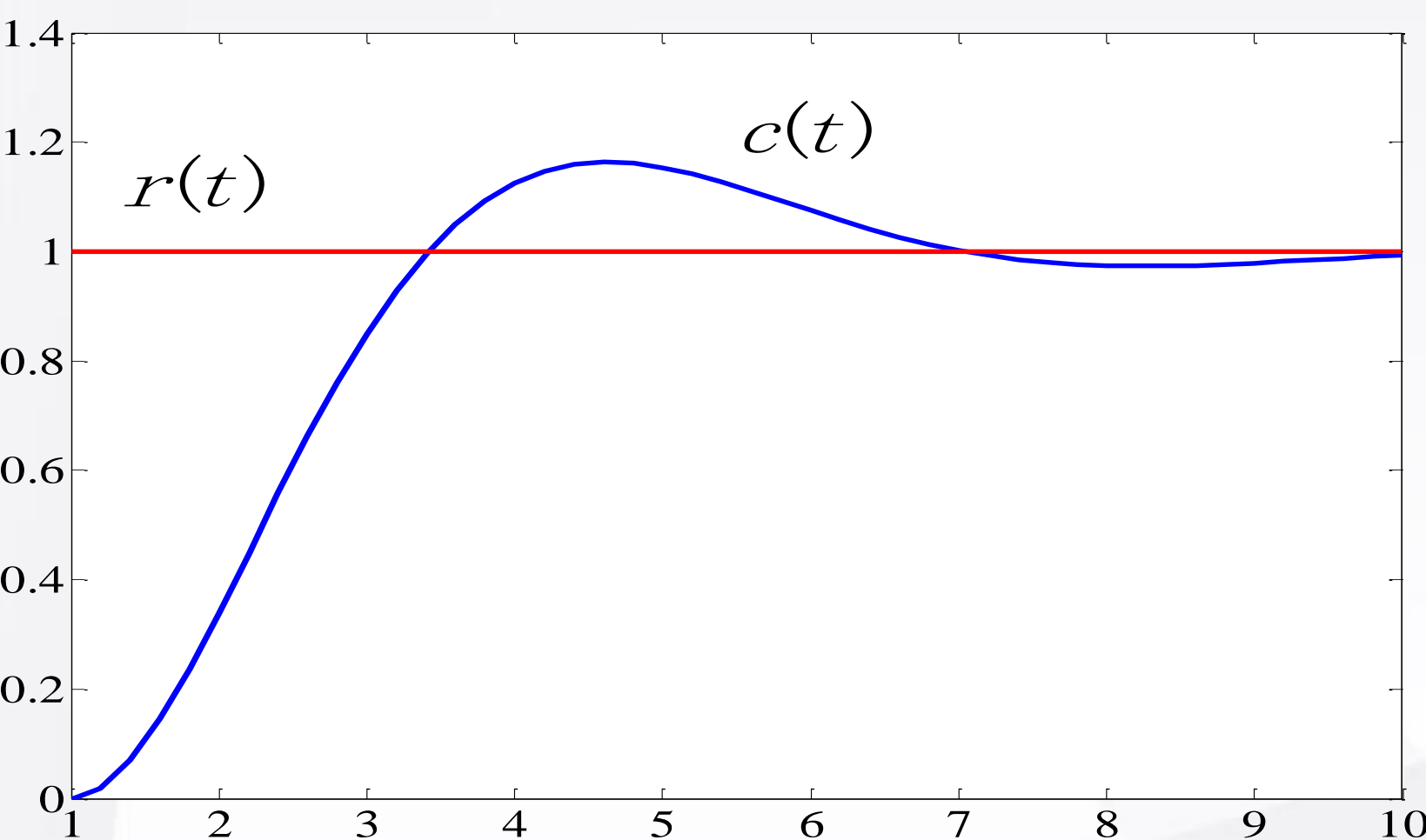
三种典型输入下的
静态误差分别为：

$$e_{st} = \begin{cases} \frac{1}{1 + k_p} & \text{阶跃输入} \\ \frac{1}{k_v} & \text{斜坡输入} \\ \frac{1}{k_a} & \text{加速度输入} \end{cases}$$

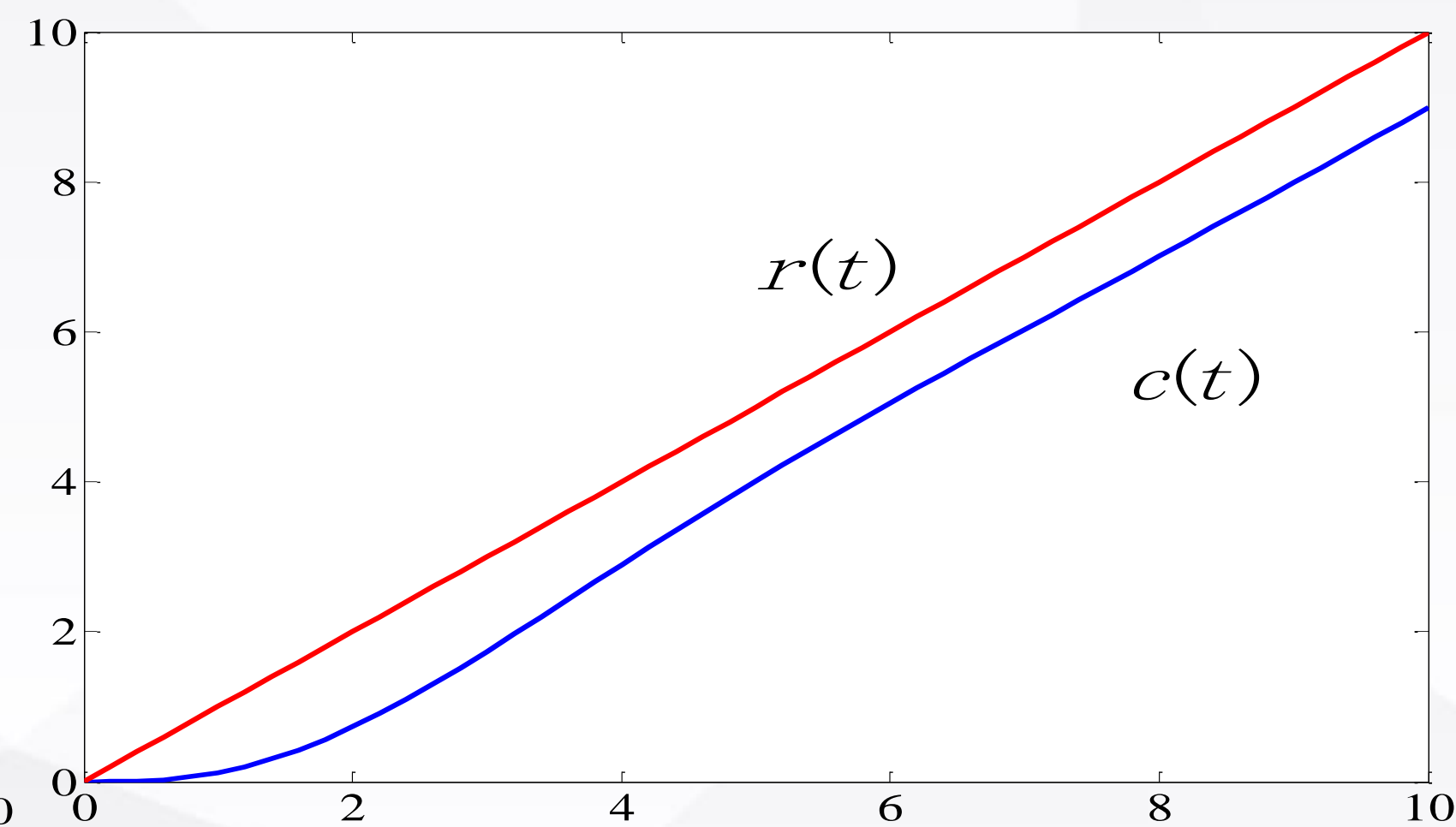
静态误差举例



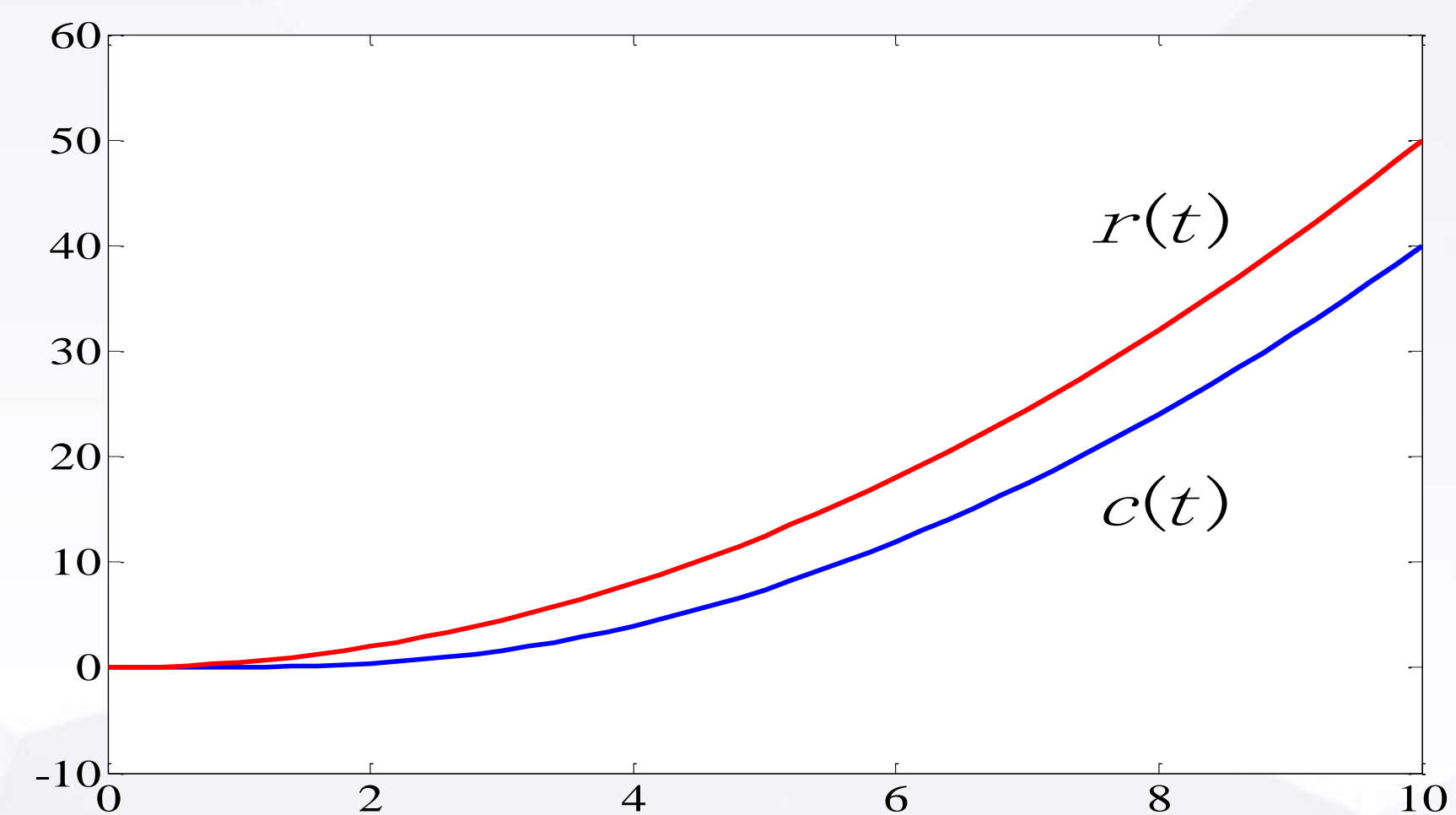
某系统在三种典型输入信号下的误差



阶跃输入



斜坡输入



加速度输入

系统类型与静差的关系

前面定义了误差系数，导出了在特定输入信号的作用下，静差与误差系数的关系，而误差系数与系统的开环传递函数有关，即与系统的参数和结构有关。

问题：开环传递函数的结构如何影响闭环系统的静差？

设 $G_{\text{开}}(s) = \frac{k(\tau_1 s + 1) \cdots (\tau_m s + 1)}{s^\gamma (T_1 s + 1) \cdots (T_n s + 1)}$ ($\gamma = 0, 1, 2$ 分别称为0型，1型，2型系统)

对0型系统：

$$\left\{ \begin{array}{lll} k_p = \lim_{s \rightarrow 0} G_{\text{开}}(s) = k & \text{阶跃输入下的静态误差} & e_{st} = 1/(1 + k) \\ k_v = \lim_{s \rightarrow 0} s G_{\text{开}}(s) = 0 & \text{斜坡输入下的静态误差} & e_{st} = 1/k_v = \infty \\ k_a = \lim_{s \rightarrow 0} s^2 G_{\text{开}}(s) = 0 & \text{加速度输入下的静态误差} & e_{st} = 1/k_a = \infty \end{array} \right.$$

系统类型与静差的关系

对1型系统:

$$\begin{cases} k_p = \infty & \text{阶跃输入下的静态误差} & e_{st} = 0 \\ k_v = k & \text{斜坡输入下的静态误差} & e_{st} = 1/k \\ k_a = 0 & \text{加速度输入下的静态误差} & e_{st} = \infty \end{cases}$$

对2型系统:

$$\begin{cases} k_p = \infty & \text{阶跃输入下的静态误差} & e_{st} = 0 \\ k_v = \infty & \text{斜坡输入下的静态误差} & e_{st} = 0 \\ k_a = k & \text{加速度输入下的静态误差} & e_{st} = 1/k \end{cases}$$

系统类型与静差的关系

汇总表:

| 静差 类型 | 输入 | 阶跃 | 斜坡 | 加速度 |
|----------|----|-----------------|---------------|---------------|
| 0 | | $\frac{1}{1+K}$ | ∞ | ∞ |
| I | | 0 | $\frac{1}{K}$ | ∞ |
| II | | 0 | 0 | $\frac{1}{K}$ |

提醒：系统稳定是讨论静差的前提。

静态误差的物理解释

初始条件：平衡位置 h_0 ，阀门开度 l_0
进水 Q_0 ，出水 M_0

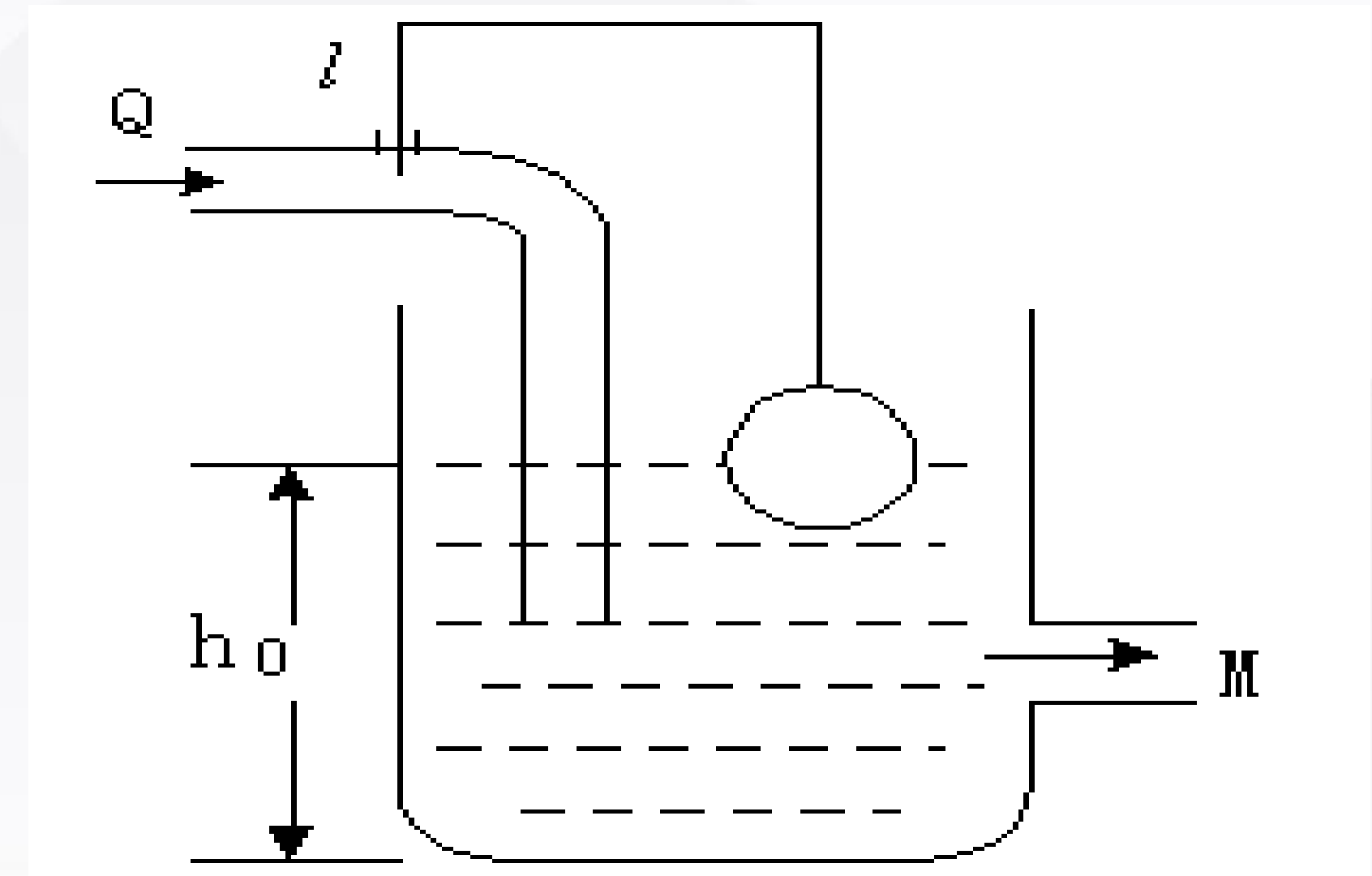
当 M 增大，水位 h 降低， l 变大，从而
 Q 变大， h 回升，

当达到新的平衡，此时 $h_1 ? = h_0$

如果要保证 $Q_1 > Q_0$

就必须使得 $l_1 > l_0, \therefore h_1 < h_0$

有差系统



静态误差的物理解释

初始状态: $h = h_0, \Delta u = 0, l = l_0, M_0 = Q_0$

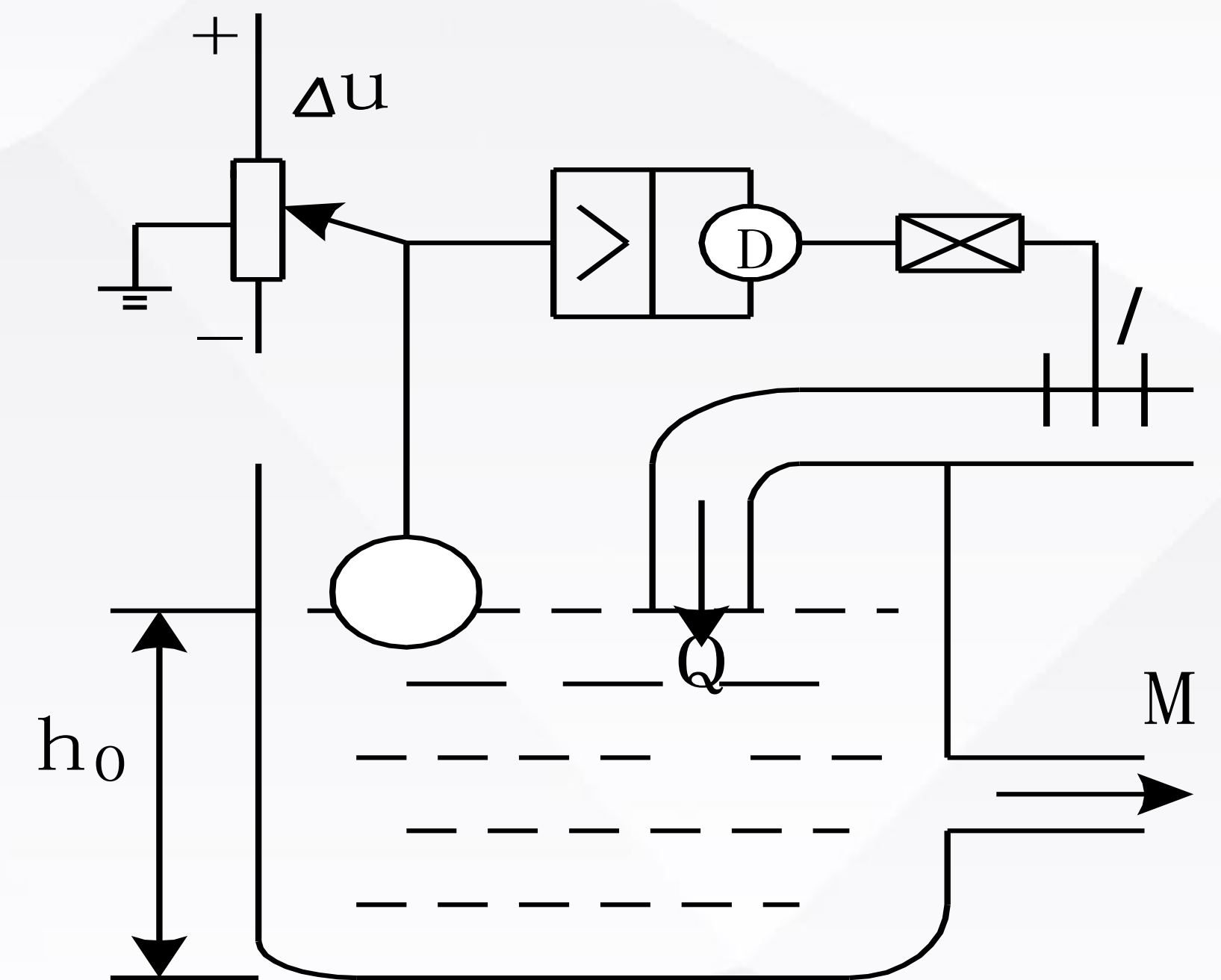
当M升为 M_1 , h下降, $\Delta u > 0$, 电动机电作,

提高 l, l_0 升为 l_1, Q 升为 Q_1

直到 $Q_1 = M_1$ 达到新平衡

此时 $h_1 ? = h_0$

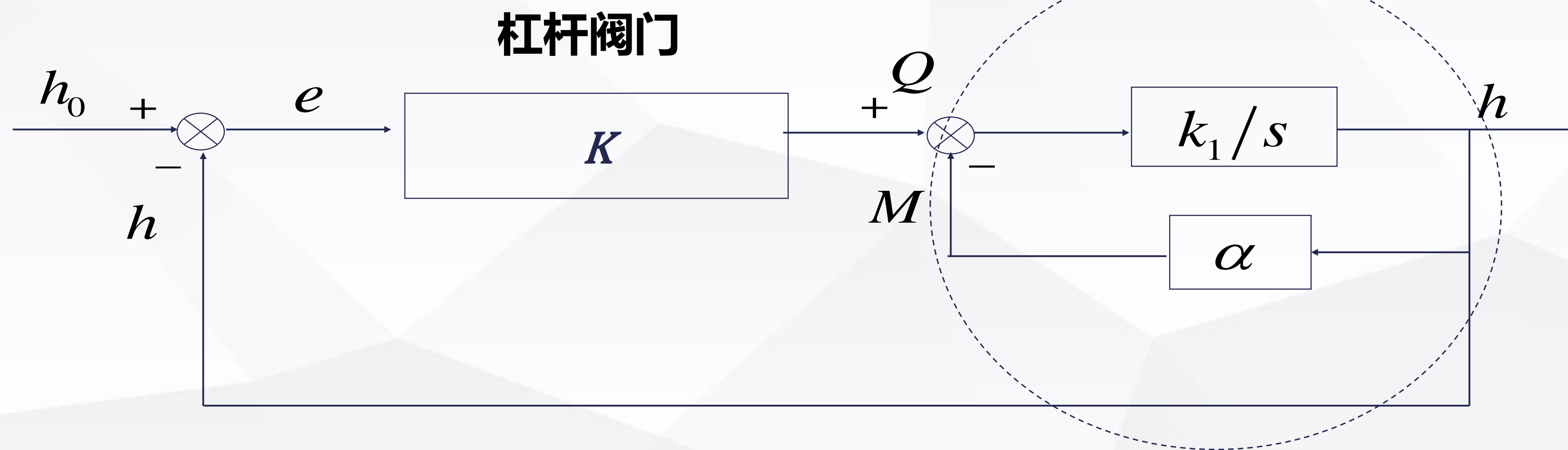
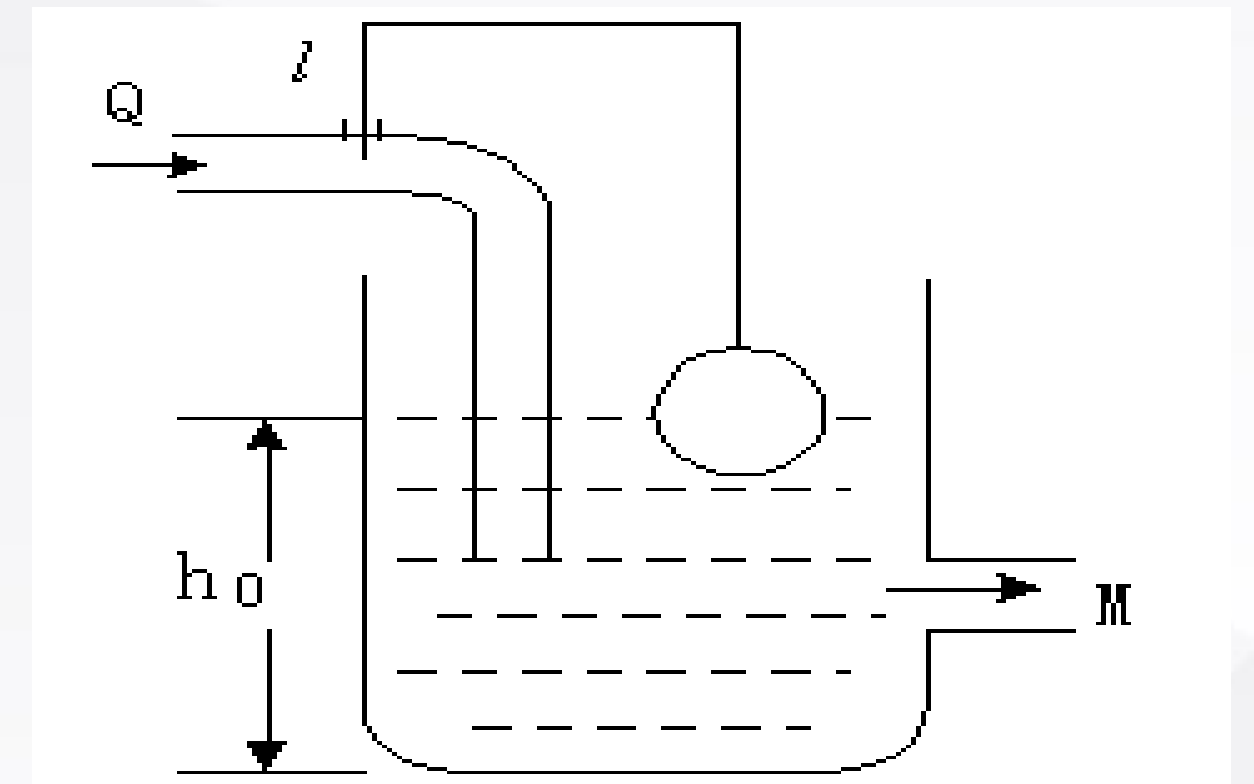
试想: 只要 $h_1 \neq h_0, \Delta u \neq 0$, 电动机就转, 阀门就动作 (不是开大就是关小),
直到 $h = h_0$, 达到新平衡。



无差系统

静态误差理论解释

数学模型

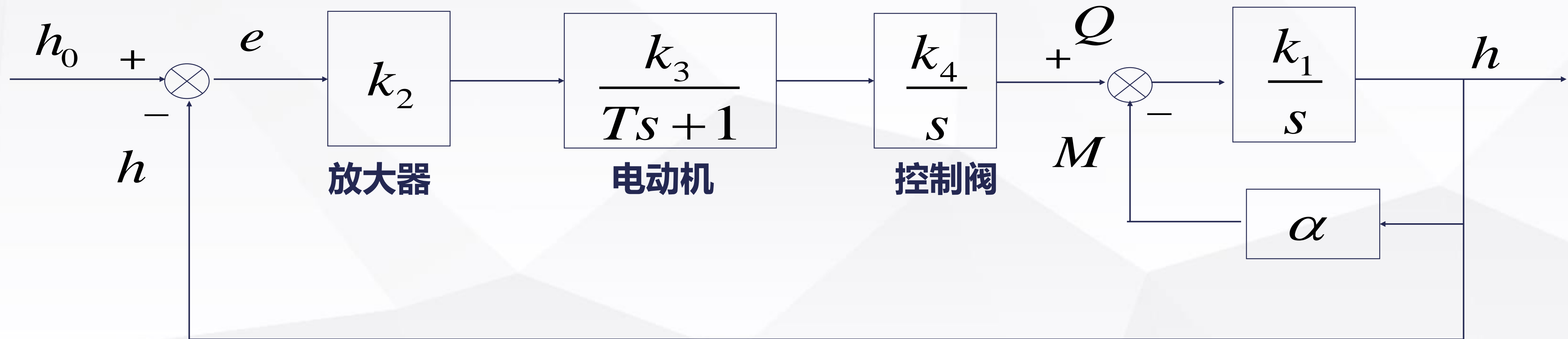
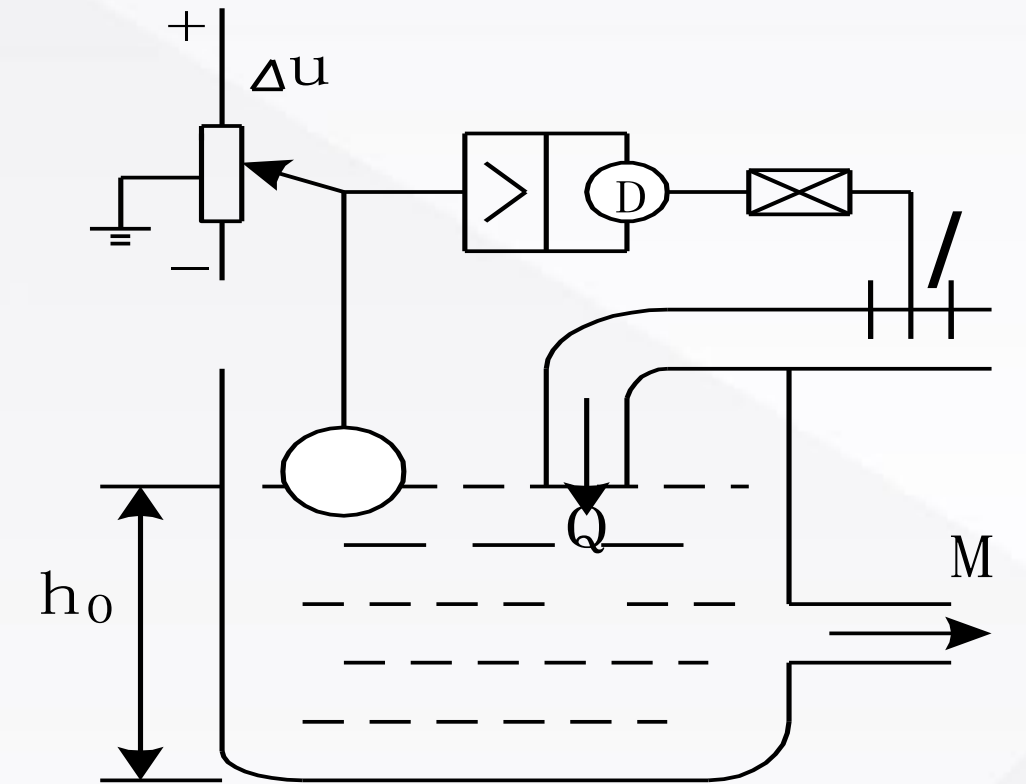


水箱模型

0型系统

静态误差理论解释

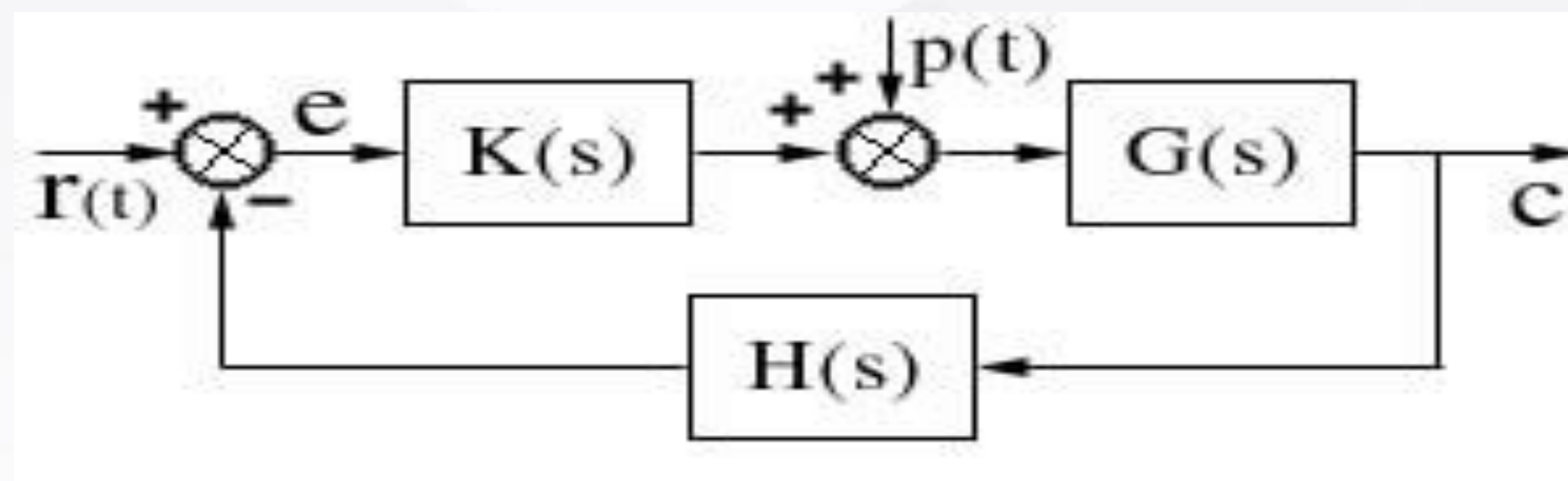
电动机在把速度信号变为位置信号时多了一个积分环节



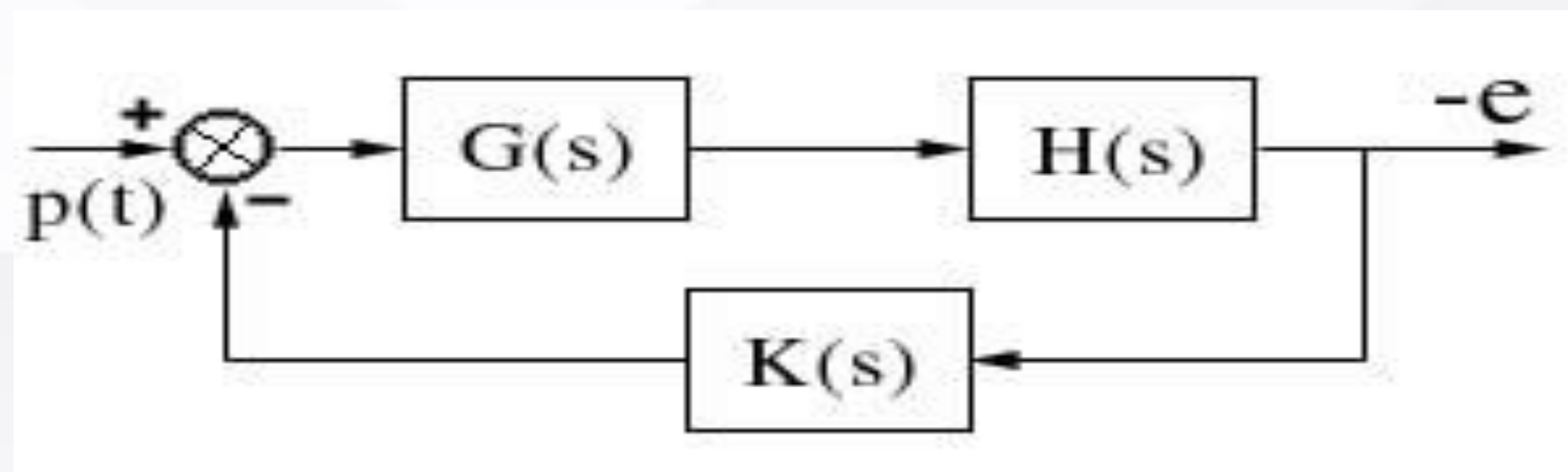
1型系统

扰动引起的静差

扰动 $P(t)$ 也是一种输入，系统静差由两部分组成，是由 $r(t)$ 引起的静差和由 $p(t)$ 引起的静差的代数和。



1. 由 $r(t)$ 引起的误差，可根据 $r(t)$ 的性质和 $G_{\text{开}}(s)$ 求得对应输入静差，此时 $p(t)=0$ 。
2. 由 $p(t)$ 引起的误差，令 $r(t)=0$ ，框图变换得：



$$\frac{e(s)}{p(s)} = -\frac{GH}{1 + GHK}$$

在已知 $p(t)$ 下，求出对应的扰动静差。

扰动引起的静差

试分析 $K(s)$ 含积分和 $K(s)$ 不含积分两种情况下的阶跃扰动静差：

$$e_{st} = \lim_{s \rightarrow 0} se(s) = - \lim_{s \rightarrow 0} \frac{GH}{1 + GHK}$$

● $K(s)$ 含积分 $K = \frac{k_1}{s(\dots)(\dots)}$ 即扰动作用点之前（左）含积分，

对阶跃扰动无静差

$$e_{st} = - \lim_{s \rightarrow 0} \frac{GH}{1 + GH \frac{k_1}{s(\dots)(\dots)}} = - \lim_{s \rightarrow 0} \frac{sGH(\dots)(\dots)}{s(\dots)(\dots) + k_1 GH} = 0$$

● $K(s)$ 不含积分

$$K = \frac{k_1}{(\dots)(\dots)}$$

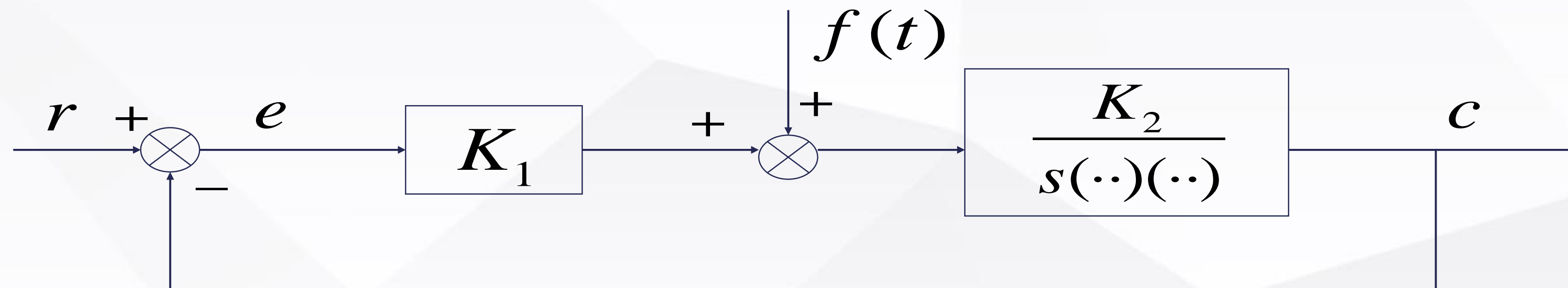
$$e_{st} = \begin{cases} - \lim_{s \rightarrow 0} \frac{\frac{k_2}{(\dots)(\dots)}}{1 + \left(\frac{k_2}{(\dots)(\dots)} \right) \frac{k_1}{(\dots)(\dots)}} = - \frac{k_2}{1 + k_1 k_2} \approx - \frac{1}{k_1} & (GH \text{ 不含积分, } GH = \frac{k_2}{(\dots)(\dots)}) \\ - \lim_{s \rightarrow 0} \frac{\frac{k_2}{s(\dots)(\dots)}}{1 + \left(\frac{k_2}{s(\dots)(\dots)} \right) \frac{k_1}{(\dots)(\dots)}} = - \frac{1}{k_1} & (GH \text{ 含积分, } GH = \frac{k_2}{s(\dots)(\dots)}) \end{cases}$$

扰动引起的静差

练习题：求以下3题的静差 $e = r - c$

1) 第一种情况： $r(t)=1(t)$, $f(t)=1(t)$

第二种情况： $r(t)=t$, $f(t)=1(t)$



扰动引起的静差

解:

1.判稳: 系统稳定 (**假设**)

2.由 $r(t)$ 引起的误差, 令 $p(t)=0$

1 型系统, 静态误差可查表

$$r(t)=1(t), e_{r1}=0; \quad r(t)=t, e_{r2}=\frac{1}{K_1 K_2}$$

3.由 $p(t)$ 引起的误差, 令 $r(t)=0$

扰动作用点之前不含积分, 扰动作用点之后含有积分, 对阶跃扰动的静态误差

$$e_f = -\frac{1}{K_1}$$

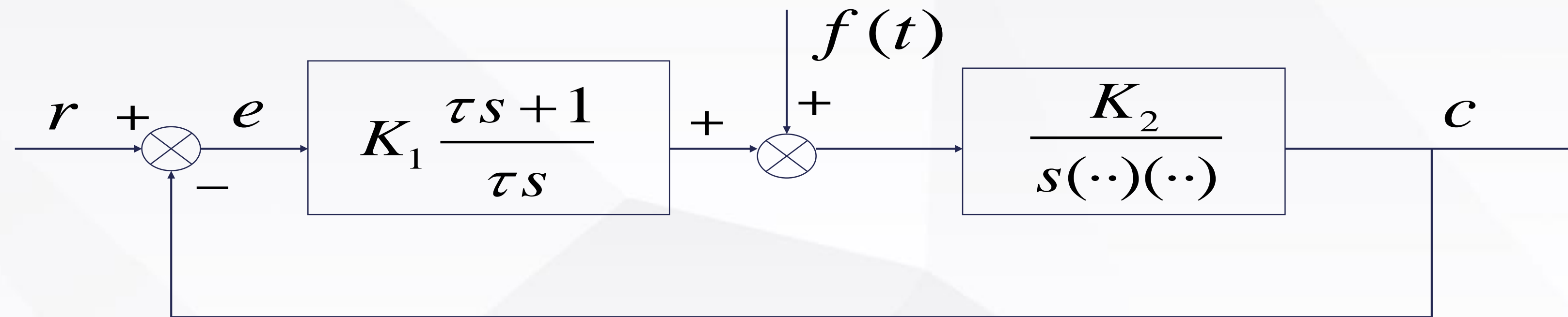
第一种情况: $r(t)=1(t), f(t)=1(t)$ $e_{st} = -\frac{1}{K_1}$

第二种情况: $r(t)=t, f(t)=1(t)$ $e_{st} = \frac{1}{K_1 K_2} - \frac{1}{K_1}$

扰动引起的静差

2) 第一种情况: $r(t)=1(t)$, $f(t)=1(t)$

第二种情况: $r(t)=t$, $f(t)=1(t)$



扰动引起的静差

解：

1. 判稳：系统稳定（假设）
2. 由 $r(t)$ 引起的误差，令 $p(t)=0$

2 型系统，静态误差可查表

$$r(t) = 1(t), e_{r1} = 0$$

$$r(t) = t, e_{r2} = 0$$

3. 由 $p(t)$ 引起的误差，令 $r(t)=0$

$$f(t) = 1(t), \text{ 扰动作用点之前含有积分, 对阶跃扰动无静差 } e_{stf} = 0$$

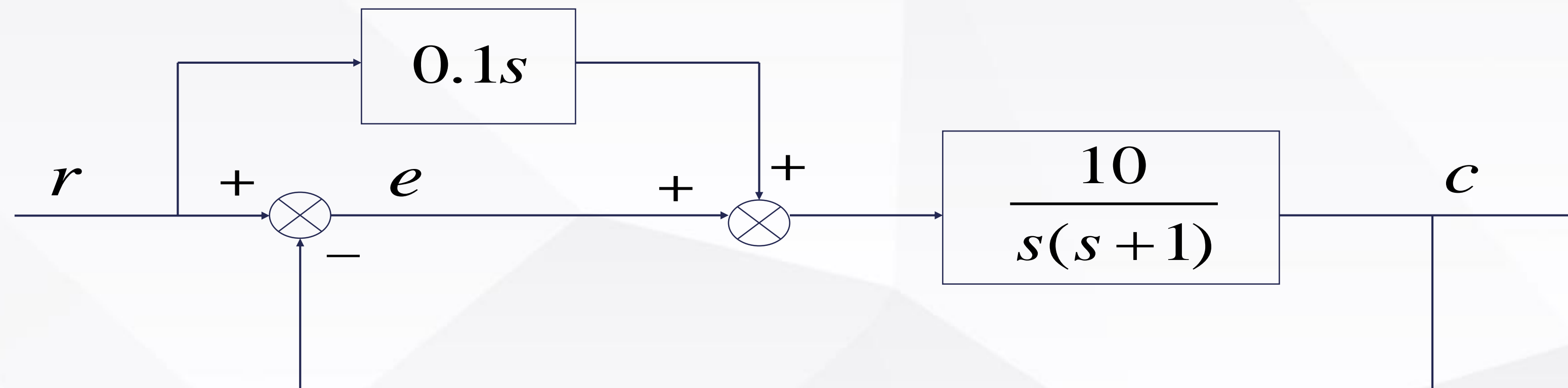
所以：第一种情况： $r(t)=1(t), f(t)=1(t) \quad e_{st} = 0$

第二种情况： $r(t)=t, f(t)=1(t) \quad e_{st} = 0$

扰动引起的静差

3) 第一种情况: $r(t)=1(t)$

第二种情况: $r(t)=t$



扰动引起的静差

解:

$$G_{\text{闭}}(s) = \frac{s + 10}{10 + s(s + 1)}$$

等效开环传递函数: $G_{\text{开}}(s) = \frac{s + 10}{s^2}$

2 型系统，对阶跃信号和斜坡信号的稳态误差均为0。

所以：第一种情况： $r(t) = 1(t)$, $e_{st} = 0$

第二种情况： $r(t) = t$, $e_{st} = 0$

扰动引起的静差

答案:

$$r(t)=1(t), f(t)=1(t)$$

$$r(t)=t, f(t)=1(t)$$

1)

$$-1/K_1$$

$$1/K_1 K_2 - 1/K_1$$

2)

$$0$$

$$0$$

3)

$$0$$

$$0$$

二阶系统阶跃响应的动态性能指标

1. t_r 上升时间

$y(t)$ 第一次达到 $y(\infty)$ 的时间

2. t_d 延迟时间

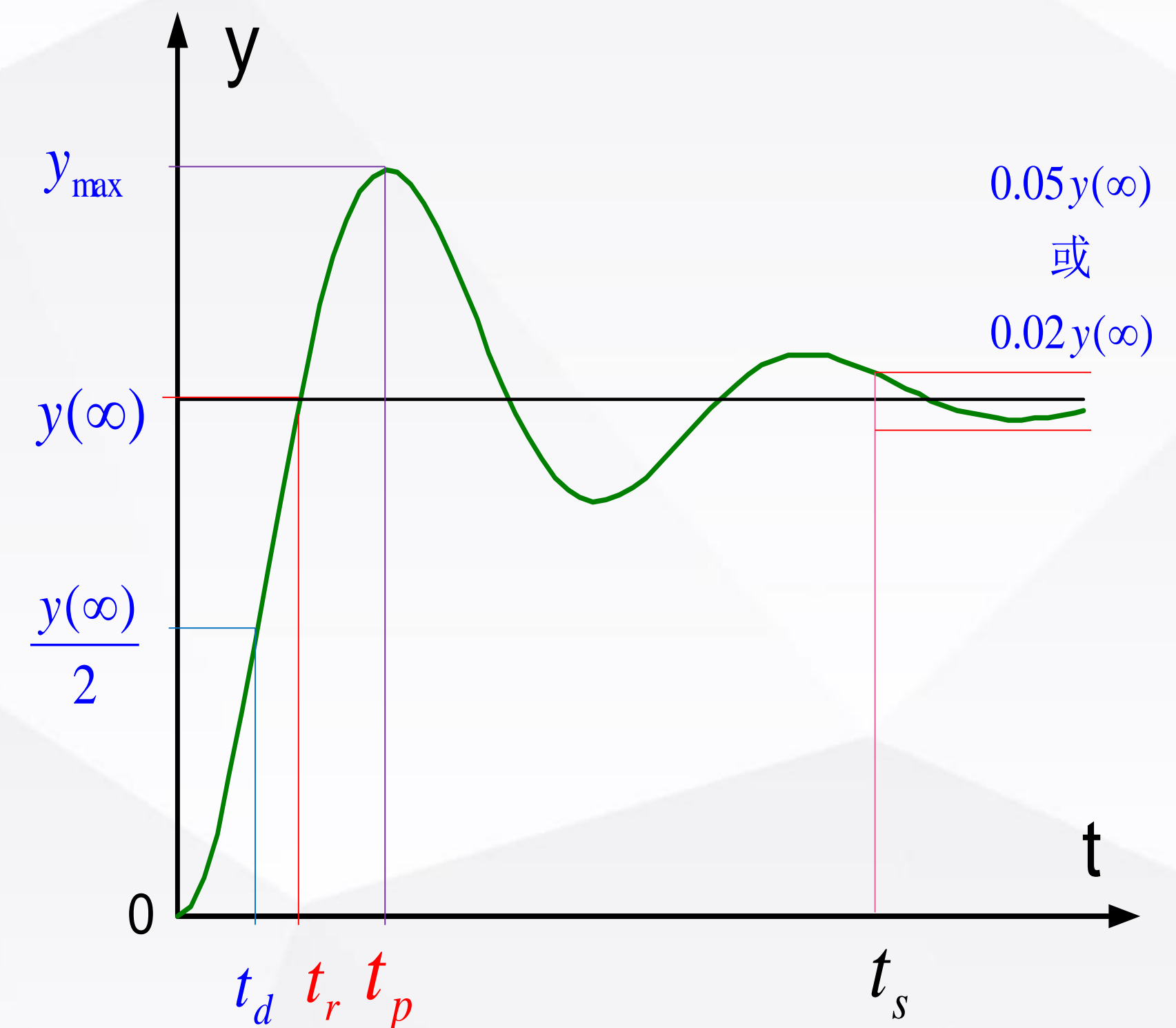
$y(t)$ 达到 $y(\infty)$ 一半的时间

3. t_s 过渡过程时间

$y(t)$ 达到 $y(\infty) \pm 5\%$ 或 $\pm 2\%$ 的时间

4. t_p 峰值时间

$y(t)$ 达到 y_{max} 的时间



二阶系统阶跃响应的动态性能指标

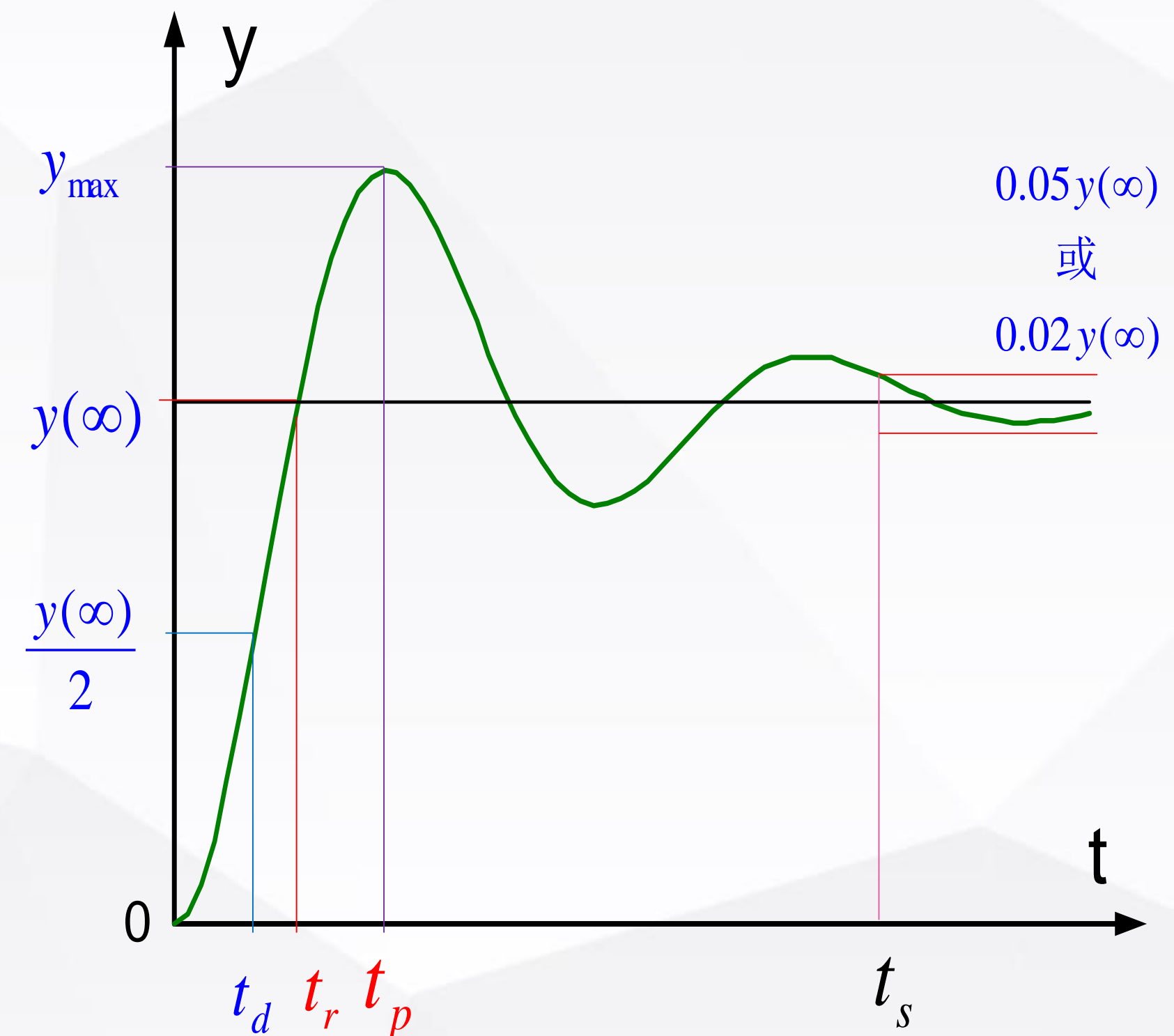
5. 超调量

$$\sigma = \frac{y_{\max} - y(\infty)}{y(\infty)} \times 100\%$$

6. 振荡次数

7. 误差积分指标

$$\int_0^{\infty} e^2(t) dt, \int_0^{\infty} t e^2(t) dt, \int_0^{\infty} |e(t)| dt$$



零初值和单位阶跃输入下，系统误差的某个函数的积分值，越小越好。

最主要指标是：过渡过程时间和超调量

二阶系统的运动

典型二阶系统

$$T^2 \frac{d^2 y}{dt^2} + 2\zeta T \frac{dy}{dt} + y = v$$

T 时间常数, ζ 阻尼系数

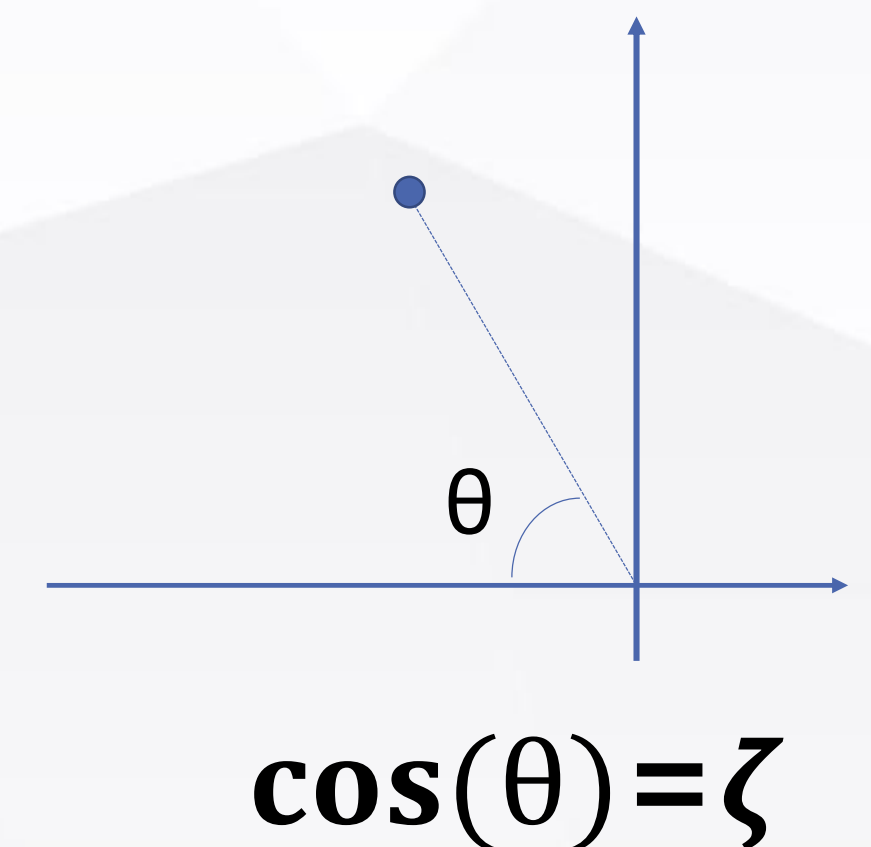
另一种形式:

$$\frac{d^2 y}{dt^2} + 2\zeta \omega_n \frac{dy}{dt} + \omega_n^2 y = \omega_n^2 v \quad \omega_n = \frac{1}{T} \text{ 无阻尼自振角频率}$$

在零初始条件下, 解此方程有以下几种情况:

$$(1) \quad 0 \leq \zeta < 1, s_{1,2} = -\frac{\zeta}{T} \pm j \frac{\sqrt{1-\zeta^2}}{T} (= -\omega_n \zeta \pm j \omega_d)$$

(ω_d 是阻尼振荡角频率)

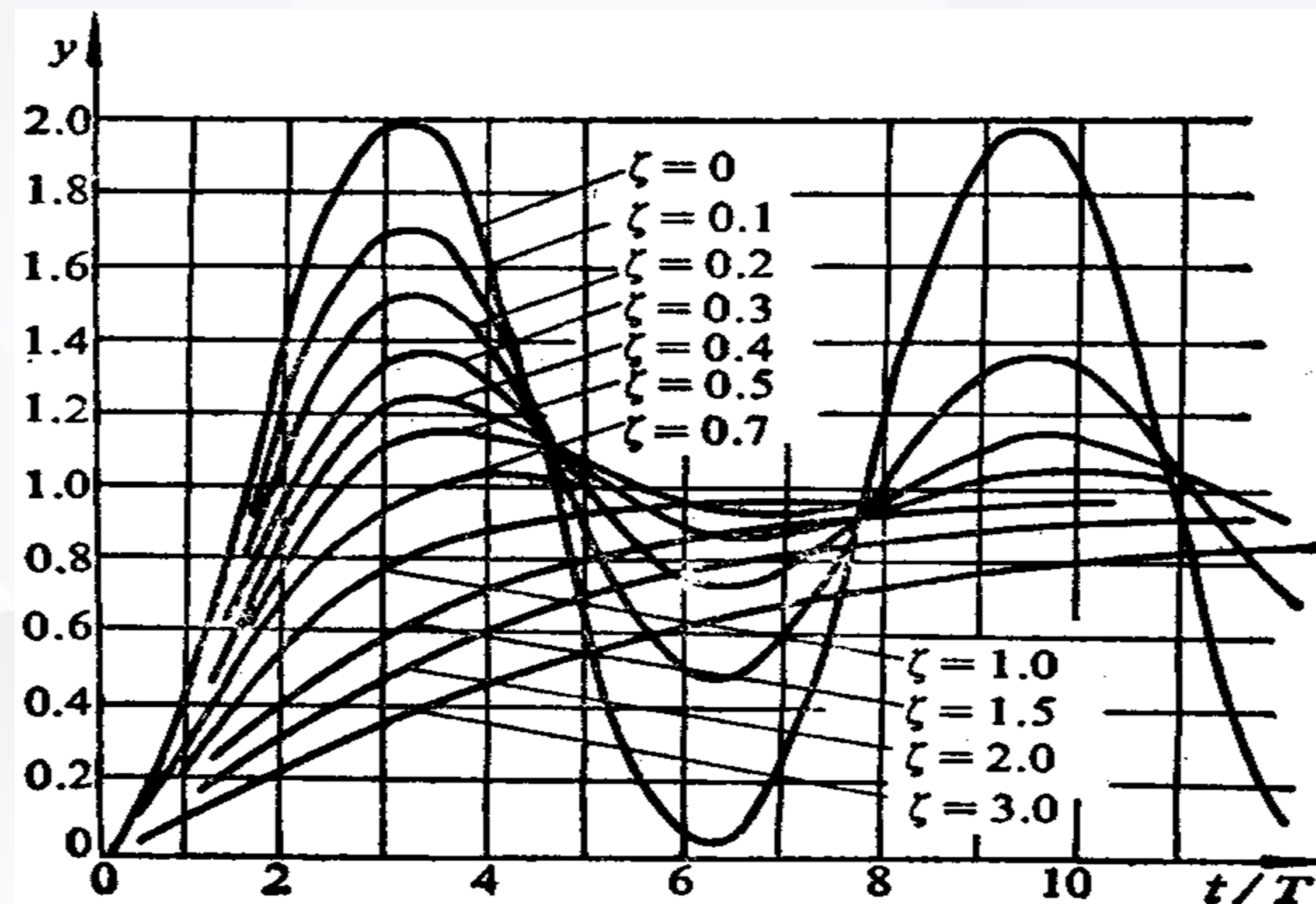


二阶系统的阶跃响应

$y(t)$ 的单位阶跃响应:

$$y(t) = 1 - \frac{1}{\sqrt{1 - \zeta^2}} e^{-\frac{\zeta}{T}t} \sin\left(\frac{\sqrt{1 - \zeta^2}}{T}t + \operatorname{arctg} \frac{\sqrt{1 - \zeta^2}}{\zeta}\right)$$

曲线如图



二阶系统的阶跃响应

(2) $\zeta = 1$, 两个相等的负实根, $s_{1,2} = -\frac{1}{T}$, $y(t) = 1 - (1 + \frac{t}{T})e^{-\frac{t}{T}}$

(3) $\zeta > 1$, 两个不相等的负实根, $s_{1,2} = -\frac{-\zeta \pm \sqrt{\zeta^2 - 1}}{T}$

$$y(t) = 1 + a_1 e^{s_1 t} + a_2 e^{s_2 t}$$

$y(t)$ 单调趋近于1

分析:

(1) ζ 的作用: $0 < \zeta < 1$, 欠阻尼; $\zeta = 0$, 无阻尼, 带振荡性
 $\zeta = 1$, 临界阻尼; $\zeta > 1$, 过阻尼

(2) t/T 总在一起, T 是响应的的时间尺度, 曲线展宽或压缩。

二阶系统阶跃响应的动态指标

性能指标:

(1) $t_r, y(t_r) = 1$

$$y(t_r) = 1 = 1 - \frac{1}{\sqrt{1-\zeta^2}} e^{-\frac{\zeta}{T}t_r} \sin(\omega_d t_r + \theta)$$

即 $\sin(\omega_d t_r + \theta) = 0 \rightarrow \omega_d t_r + \theta = \pi$ $t_r = \frac{\pi - \theta}{\omega_d}$

(2) t_p , 令 $\frac{dy}{dt} = 0$, 得 $t_p = \frac{\pi}{\omega_d} = \frac{\pi T}{\sqrt{1-\zeta^2}}$

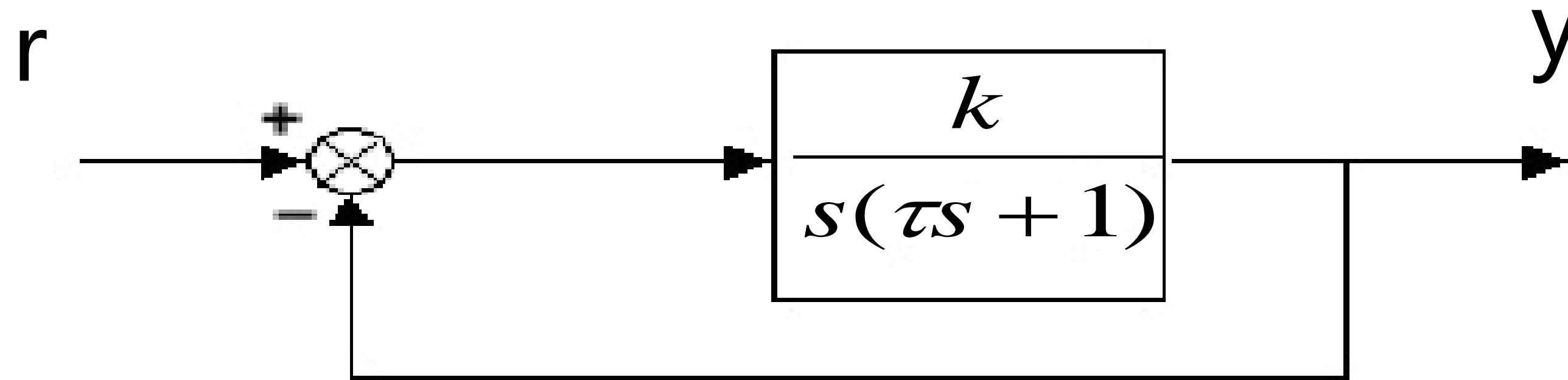
(3) 求 σ , 将 $t = t_p$ 代入 $y(t)$, 求出 y_{\max} , $y(\infty) = 1$

$$\therefore \sigma = e^{-(\zeta\pi/\sqrt{1-\zeta^2})}$$

(4) t_s 近似估计值, $t_s \approx \frac{3\sim 4}{\zeta\omega_n} = \frac{3\sim 4}{\zeta} T$ (误差带5%~2%)

二阶系统阶跃响应的动态指标

课堂练习



$$G_{\text{闭}} = \frac{1}{\tau/k s^2 + s/k + 1}$$

当 $r(t)=1(t)$ ，在以下三种不同 k, τ 参数下，试分析二阶系统的主要特征并画出阶跃输入下的 $y(t)$ 曲线。

1) $k = 1, \tau = 1;$

$(\zeta = 0.5, T = 1, t_s = 6)$

2) $k = 4, \tau = 1;$

$(\zeta = 0.25, T = \frac{1}{2}, t_s = 6)$

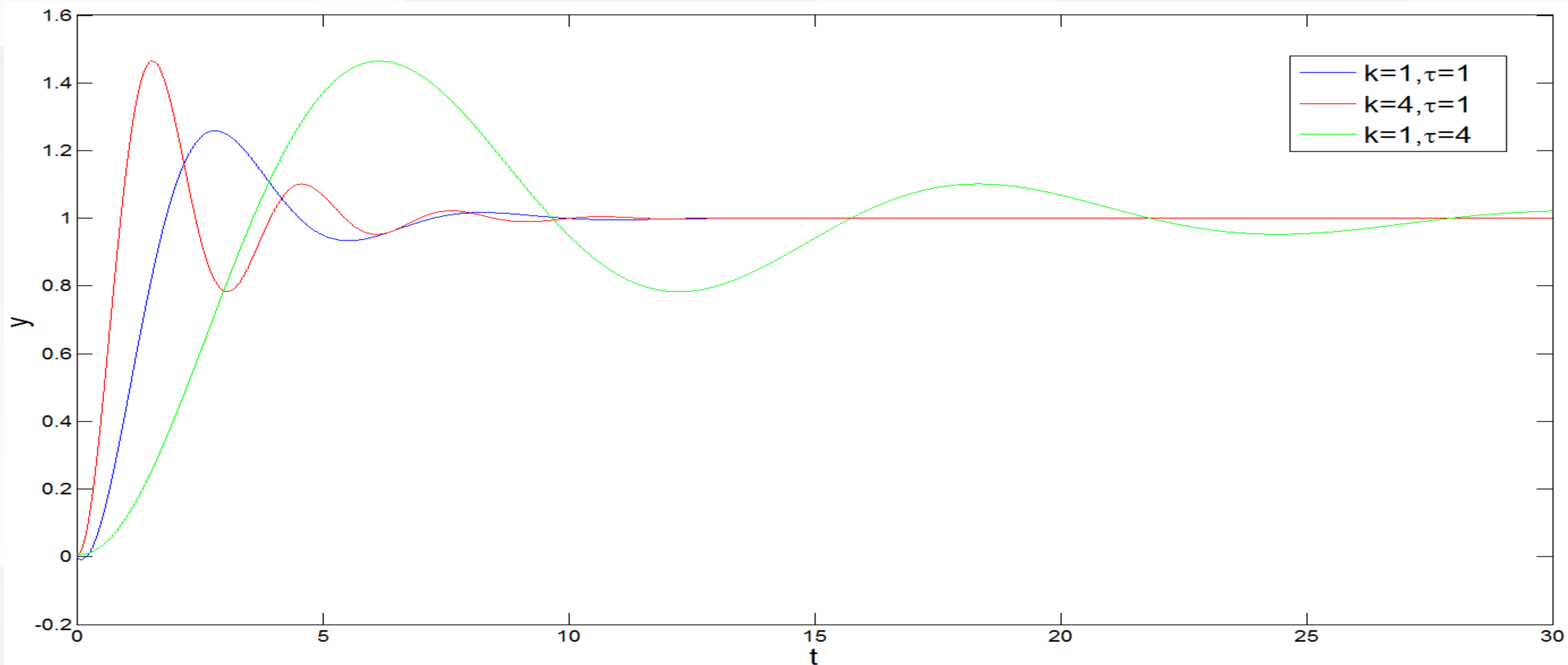
3) $k = 1, \tau = 4;$

$(\zeta = 0.25, T = 2, t_s = 24)$

$$\tau/k s^2 + s/k + 1 = T^2 s^2 + 2\zeta T s + 1 \quad T = \sqrt{\tau/k} \quad \zeta = 1/(2\sqrt{\tau k}) \quad t_s = 3T/\zeta = 6\tau$$

二阶系统阶跃响应的动态指标

阶跃响应曲线



二阶系统阶跃响应的动态指标

小结： 1) 二阶系统 T, ζ 对动态性能的影响

$$\sigma = e^{-\left(\frac{\zeta\pi}{\sqrt{1-\zeta^2}}\right)} \quad t_p = \frac{\pi T}{\sqrt{1-\zeta^2}} \quad t_s \approx \frac{3}{\zeta\omega_n}$$

2) 根据主要特征绘制阶跃响应曲线

高阶系统动态性能的近似

高阶系统的**闭环传递函数**如下：

$$\frac{y(s)}{r(s)} = \frac{b_m s^m + b_{m-1} s^{m-1} + \cdots b_1 s + b_0}{a_n s^n + a_{n-1} s^{n-1} + \cdots a_1 s + a_0} = \frac{k(s + z_1)(s + z_2) \cdots (s + z_m)}{(s + p_1)(s + p_2) \cdots (s + p_n)}$$

$-p_i \ (i = 1, \cdots n)$ 系统的**闭环极点**

$-z_j \ (j = 1, \cdots m)$ 系统的**闭环零点**

高阶系统动态性能的近似

在单位阶跃输入和零初始条件下，假设零极点都是实数且互不相同，则：

$$r(s)=1/s \quad y(s) = \frac{A_0}{s} + \sum_{i=1}^n \frac{A_i}{s + p_i}$$

A_0, A_i 是相应于 $s = 0, s = -p_i$ 极点处的留数

从而，

$$y(t) = A_0 + \sum_{i=1}^n A_i e^{-p_i t}$$

$$A_0 = [y(s)s]_{s=0}$$

$$A_i = [y(s)(s + p_i)]_{s=-p_i}$$

留数描述了该极点对应模态的运动在阶跃响应中所占比重。

高阶系统动态性能的近似

(1) 若某极点 $-p_k$ 远离原点和其他零极点，此极点处的留数为：

$$\begin{aligned} A_k &= y(s)(s + p_k)|_{s=-p_k} \\ &= \frac{k(s + z_1) \cdots (s + z_m)}{s(s + p_1) \cdots (s + p_k) \cdots (s + p_n)} (s + p_k)|_{s=-p_k} \\ &= \frac{k(-p_k + z_1) \cdots (-p_k + z_m)}{(-p_k)(-p_k + p_1) \cdots (-p_k + p_n)} \approx \frac{k(p_k)^m}{(p_k)^n} \quad n > m \end{aligned}$$

➡ A_k 很小

结论：远离原点的极点所对应的运动在阶跃响应中比重很小，可略去。

高阶系统动态性能的近似

(2) 若**零点 $-z_r$ 和极点 $-p_k$ 很靠近**，即 $|-p_k + z_r|$ 很小，称这对零极点为**偶极子**。

此极点的留数

$$\begin{aligned} A_k &= \frac{k(s + z_1) \cdots (s + z_r) \cdots (s + z_m)}{s(s + p_1) \cdots (s + p_k) \cdots (s + p_n)} (s + p_k) \Big|_{s=-p_k} \\ &= \frac{k(-p_k + z_1) \cdots (-p_k + z_r) \cdots (-p_k + z_m)}{(-p_k)(-p_k + p_1) \cdots (-p_k + p_n)} \quad n > m \end{aligned}$$

➡ A_k 很小

结论：若有一零点与一极点相近，则该极点所对应的运动在阶跃响应中比重很小。

高阶系统动态性能的近似

(3) 闭环系统的主导极点

在分析高阶系统时，可将上述两种情况的极点化作次要因素而忽略。

主导极点：稳定的闭环系统，忽略次要因素，离虚轴最近的极点。

工程中，可忽略实部五倍开外的极点。

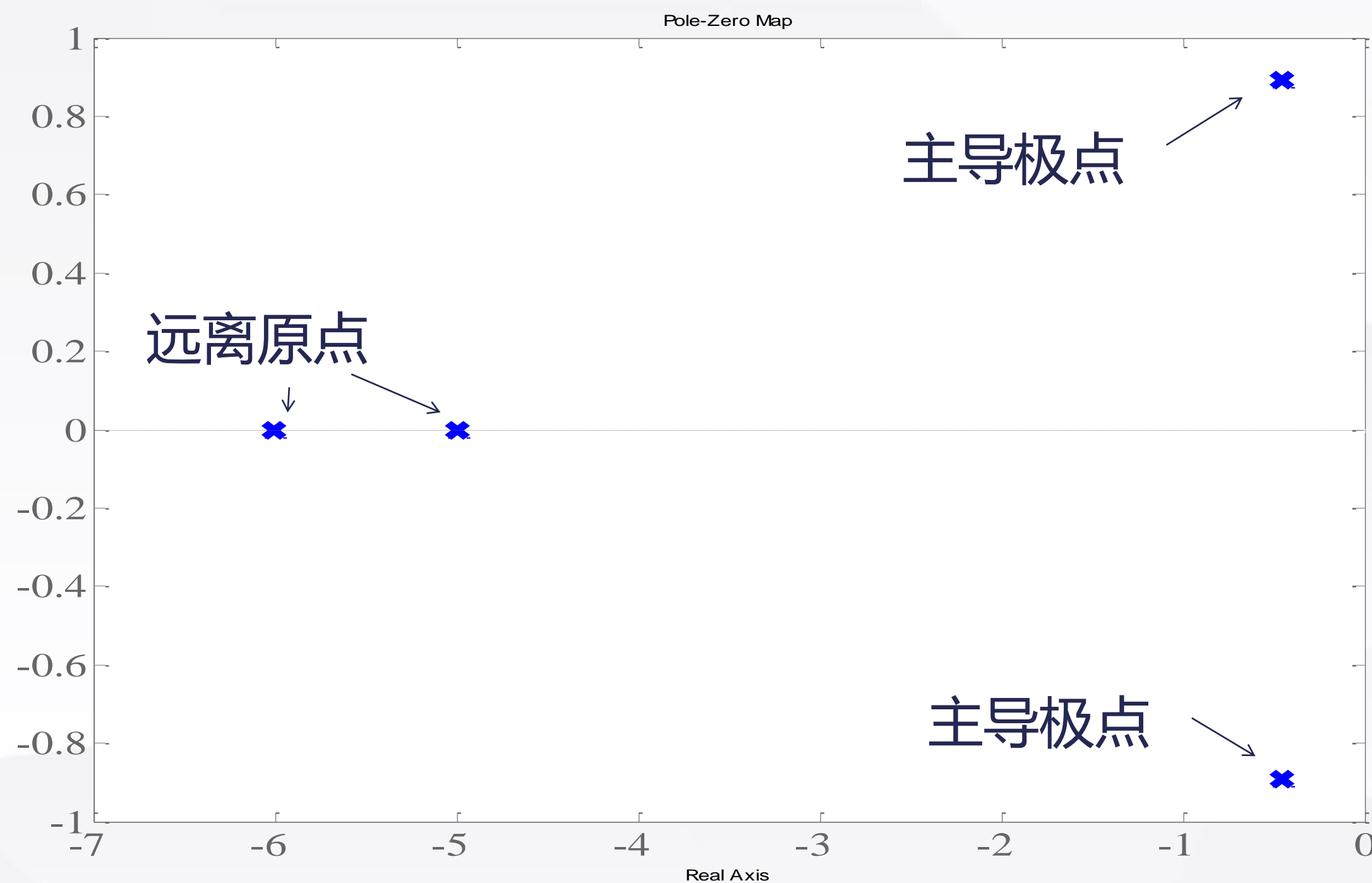
主导极点可以是一个、两个或者多个；可以是实数或者复数；如果只有一对左半平面的共轭复极点符合要求，则该系统可近似为一个二阶系统，其动态特性由这对主导极点决定。

高阶系统动态性能的近似

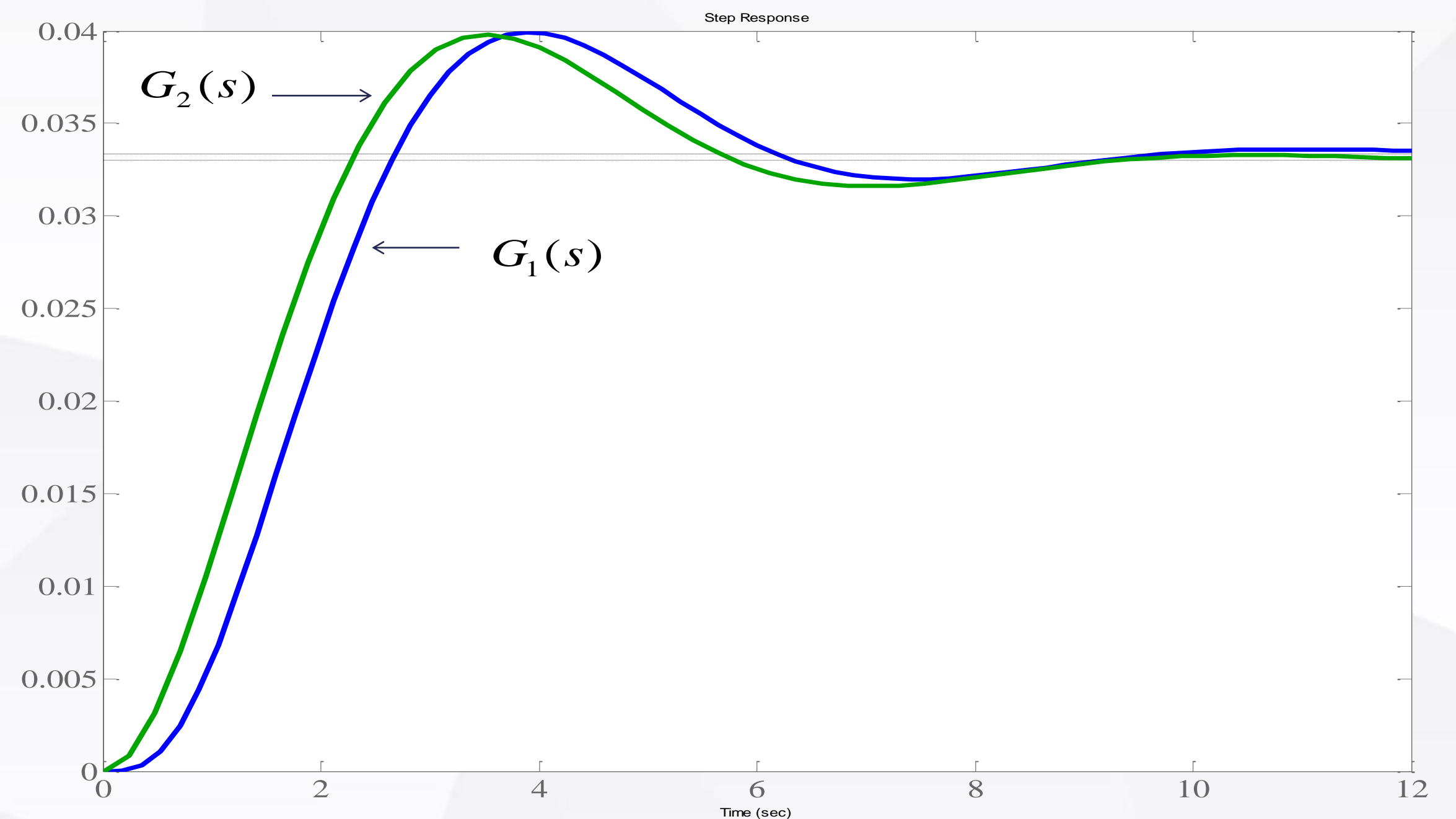
$$G_1(s) = \frac{1}{(s+5)(s+6)(s^2+0.9s+1)}$$

$$G_2(s) = \frac{0.033}{(s^2+0.9s+1)}$$

远离原点的极点所对应的运动占阶跃响应比重很小，可忽略。



零极点图



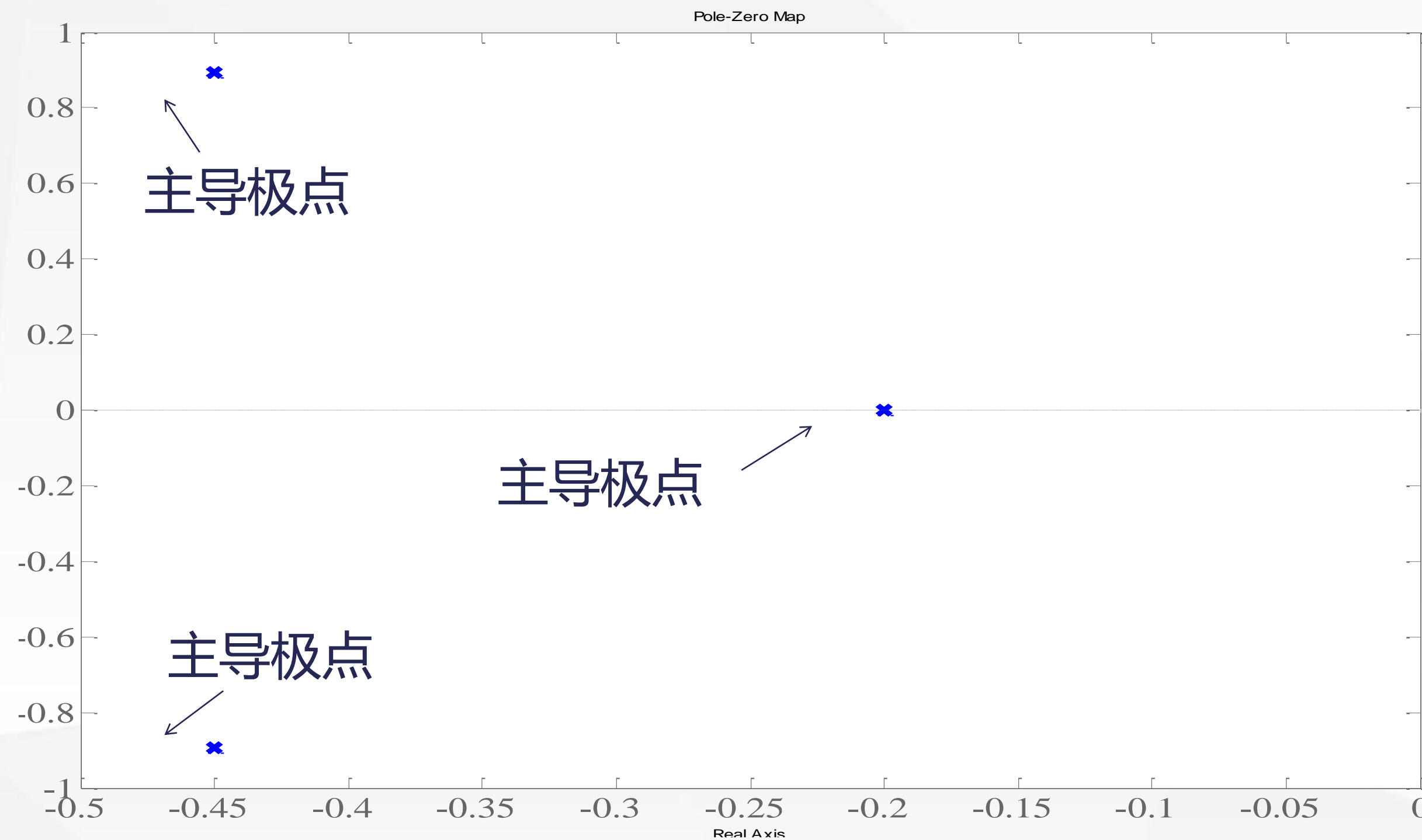
阶跃响应图

高阶系统动态性能的近似

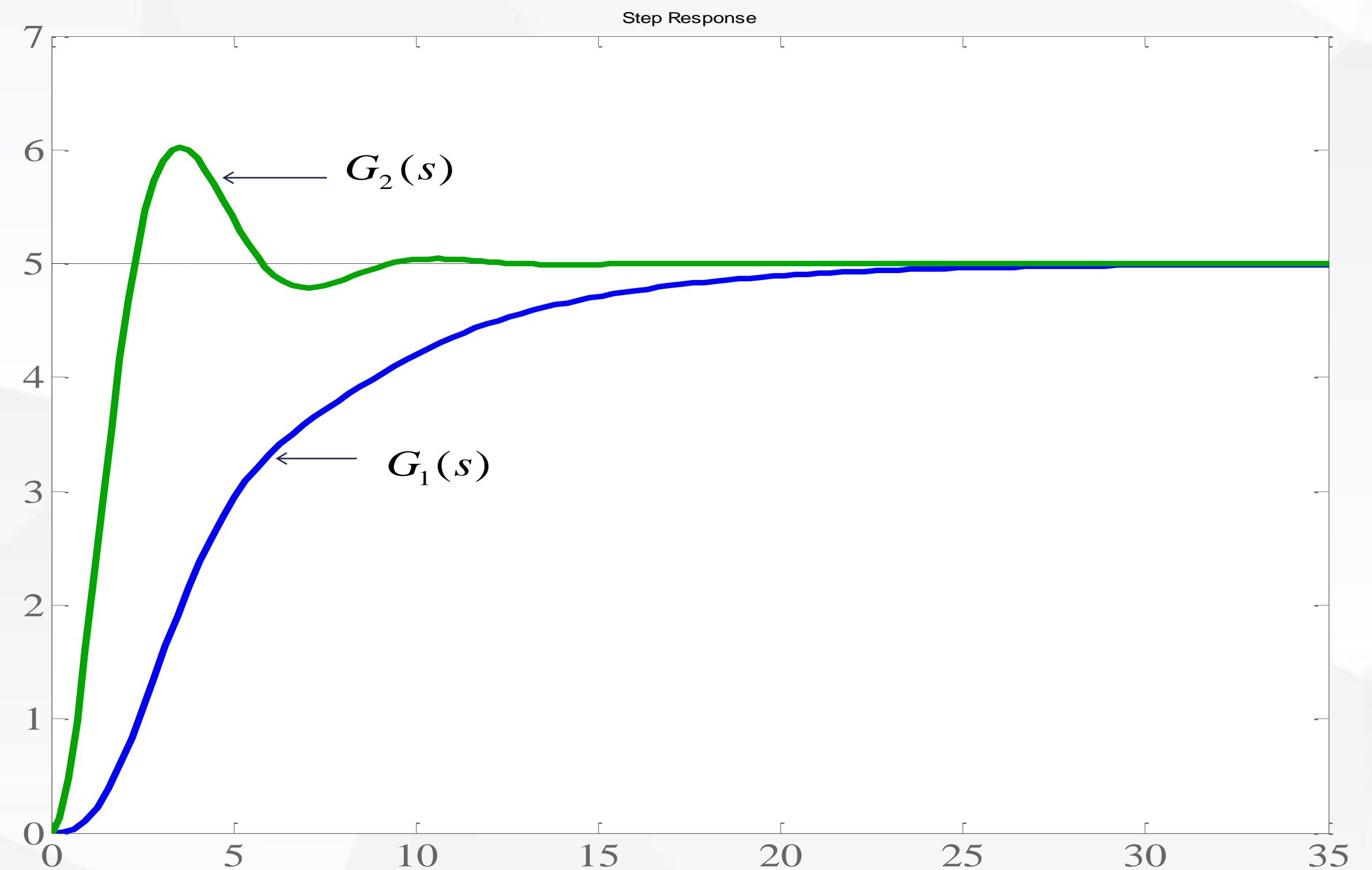
$$G_1(s) = \frac{1}{(s + 0.2)(s^2 + 0.9s + 1)}$$

$$G_2(s) = \frac{5}{(s^2 + 0.9s + 1)}$$

靠近原点的极点不能忽略。



零极点图



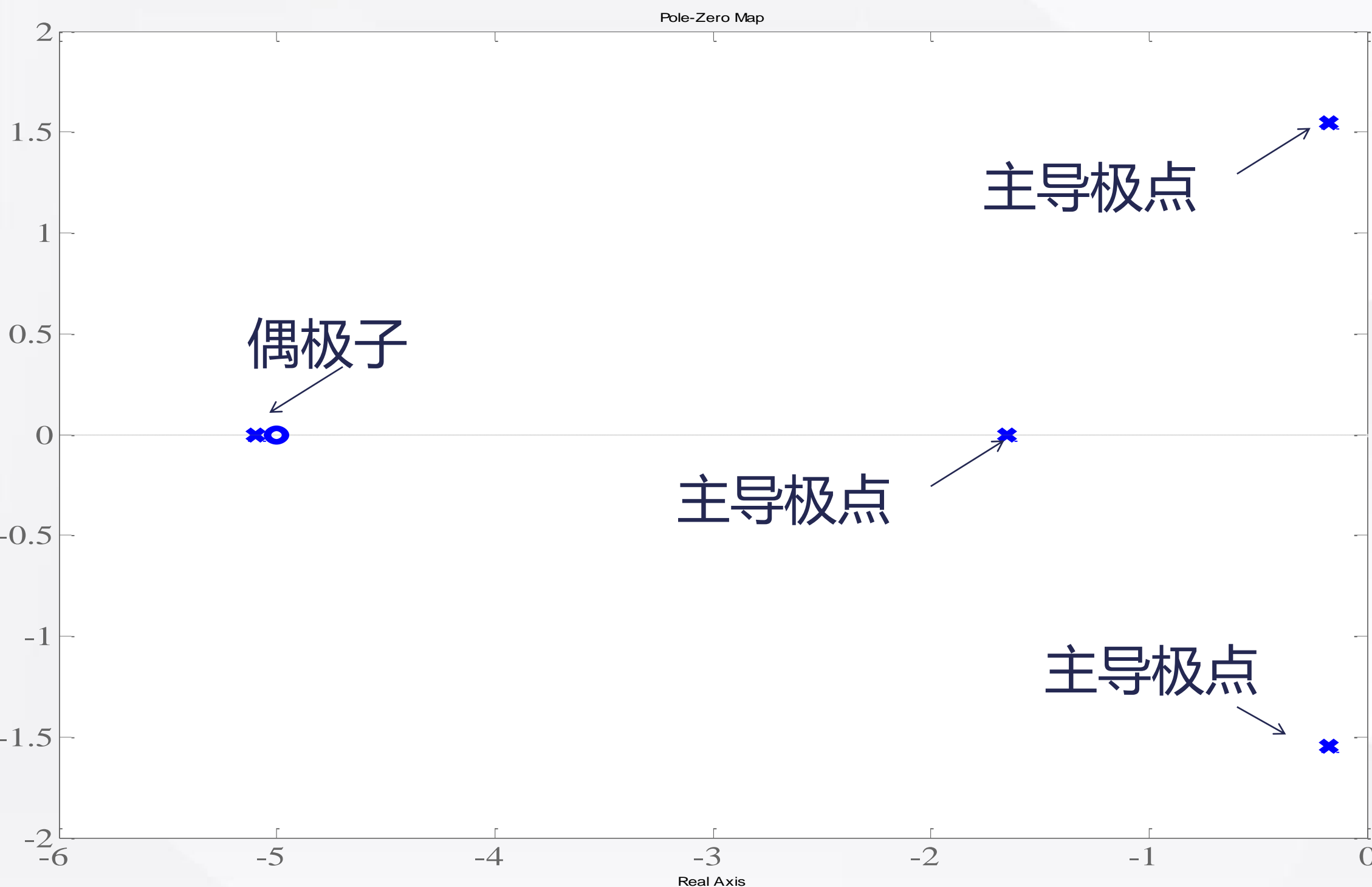
阶跃响应图

高阶系统动态性能的近似

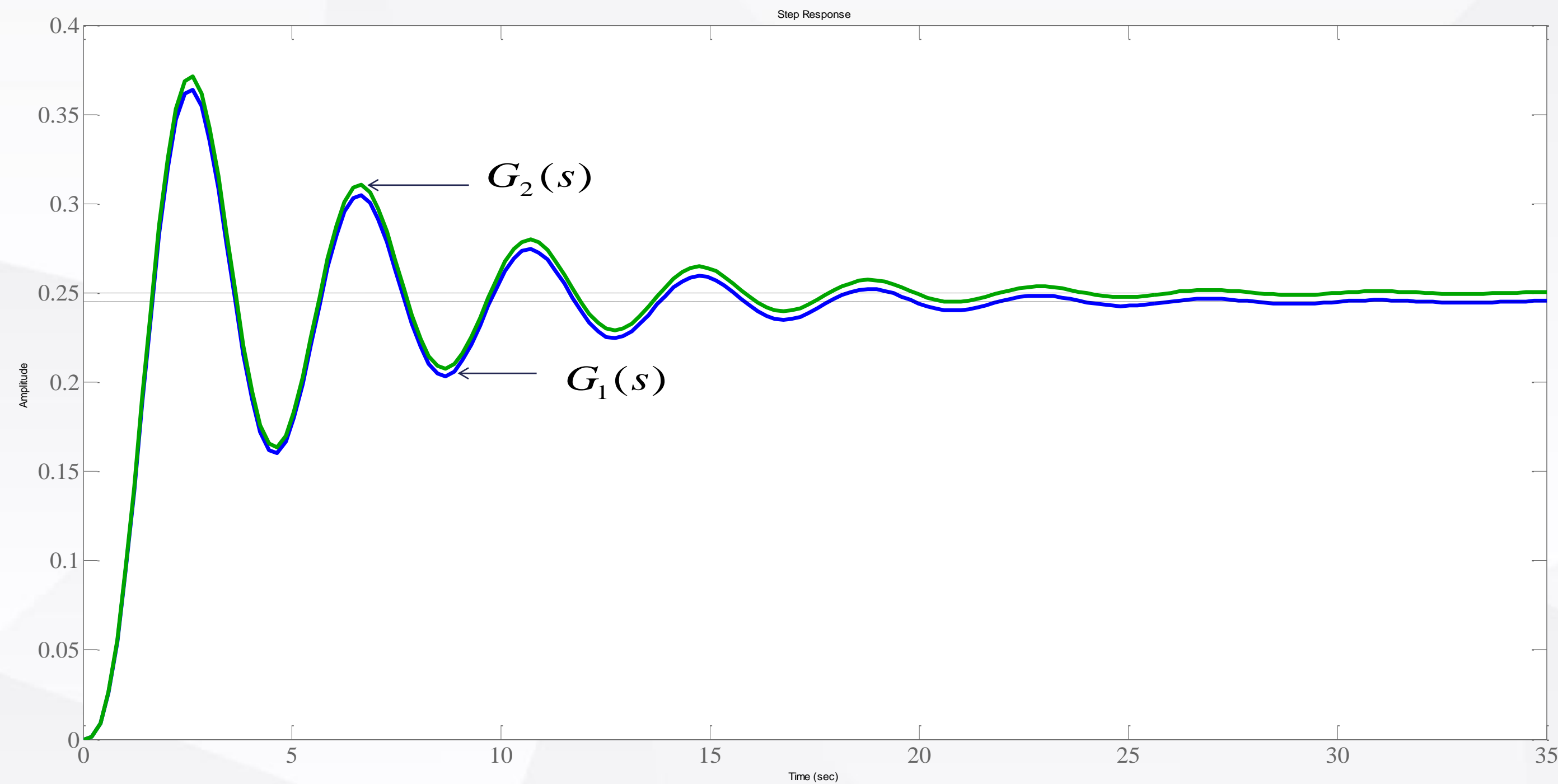
$$G_1(s) = \frac{s + 5}{(s + 5.1)(s^3 + 2s^2 + 3s + 4)}$$

$$G_2(s) = \frac{1}{(s^3 + 2s^2 + 3s + 4)}$$

如果有一零点与一极点相近，则这个极点所对应的运动占阶跃响应的比重很小。



零极点图

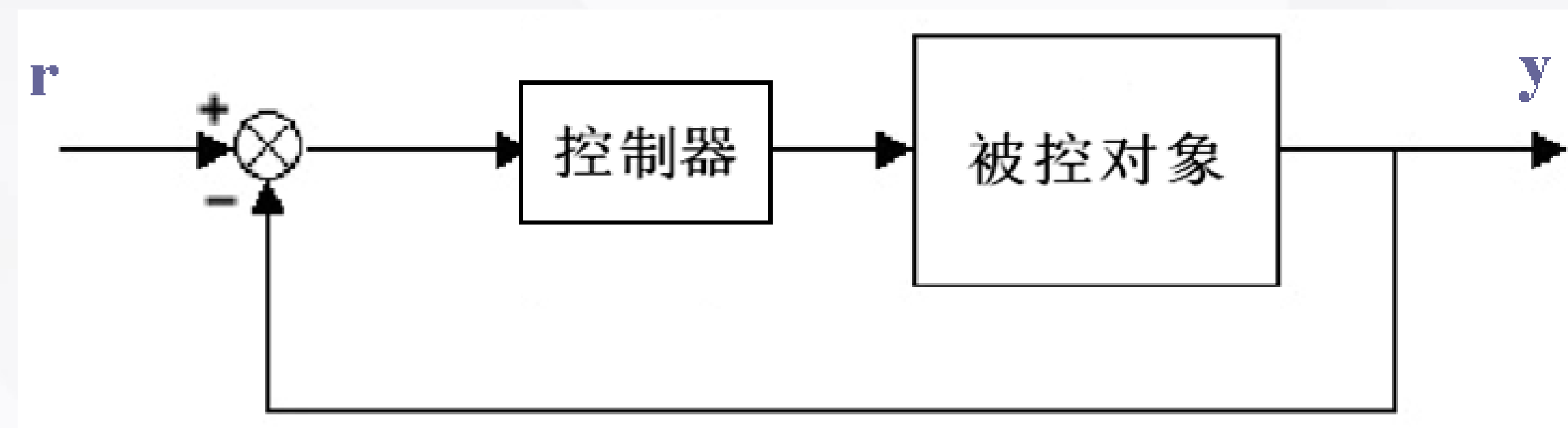


阶跃响应图

控制系统的校正

两种常用的校正方式：串联校正和局部反馈校正

1、串联校正



控制系统的校正

(1) $k(s) = k_p$ (比例), 设 $G_g(s) = \frac{1}{Ts(Ts+2\zeta)}$

当 $k_p = 1$ 特征方程为: $T^2s^2 + 2\zeta Ts + 1 = 0$

当 $k_p \neq 1$ 特征方程为: $T^2s^2 + 2\zeta Ts + k_p = 0$

$$T' = \frac{T}{\sqrt{k_p}}, \quad \zeta' = \frac{\zeta}{\sqrt{k_p}}$$

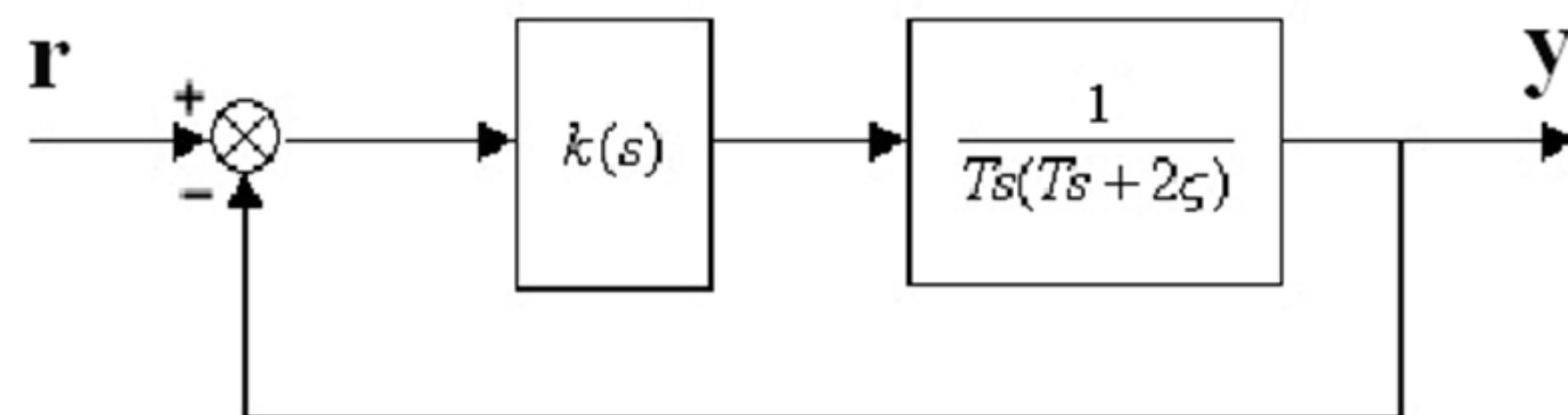
过渡过程时间不变

峰值时间变小

上升时间变小

超调量变大

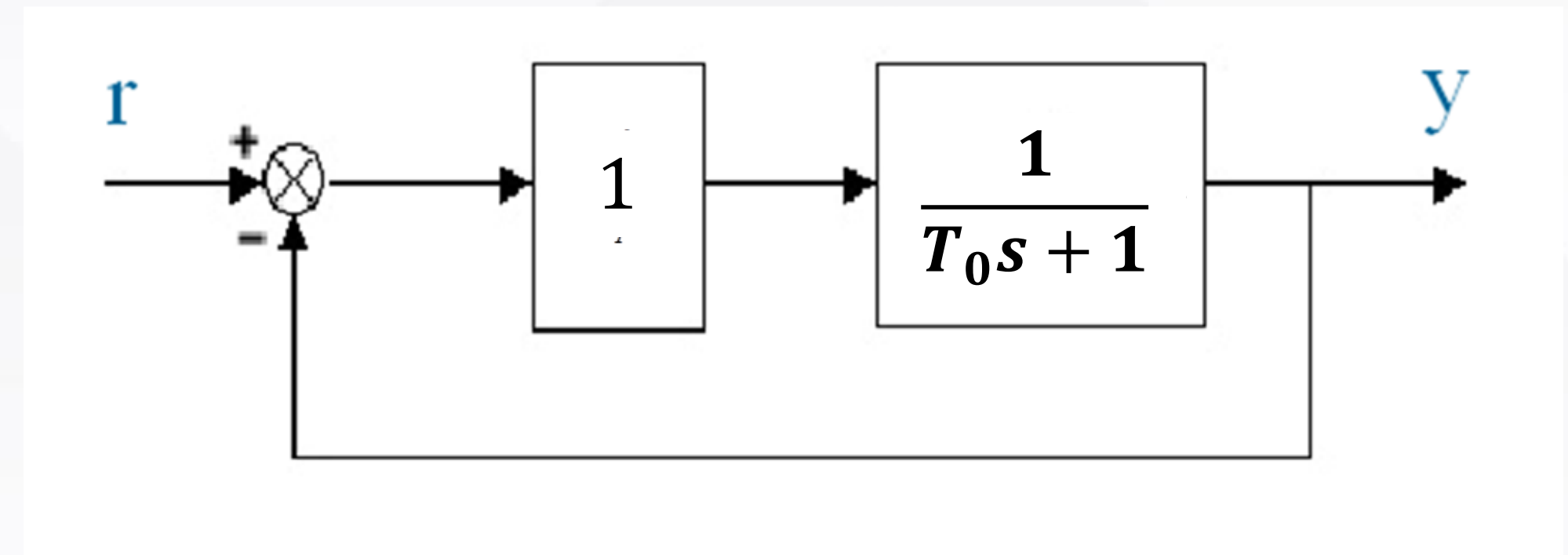
当 k_p 变大, T' 变小, 系统的响应快, 但 ζ' 也变小, 振荡加剧。



控制系统的校正

(2) $k(s) = \frac{1}{T_1 s}$ (积分校正)

如果 $G_g(s) = \frac{1}{T_0 s + 1}$



特征方程为（不加积分）： $T_0 s + 1 + 1 = 0$

$$T' = \frac{T_0}{2}, t_s = 3T' = \frac{3T_0}{2}$$

有静差

控制系统的校正

如果 $G_g(s) = \frac{1}{T_0s+1}$, $k(s) = \frac{1}{T_1s}$

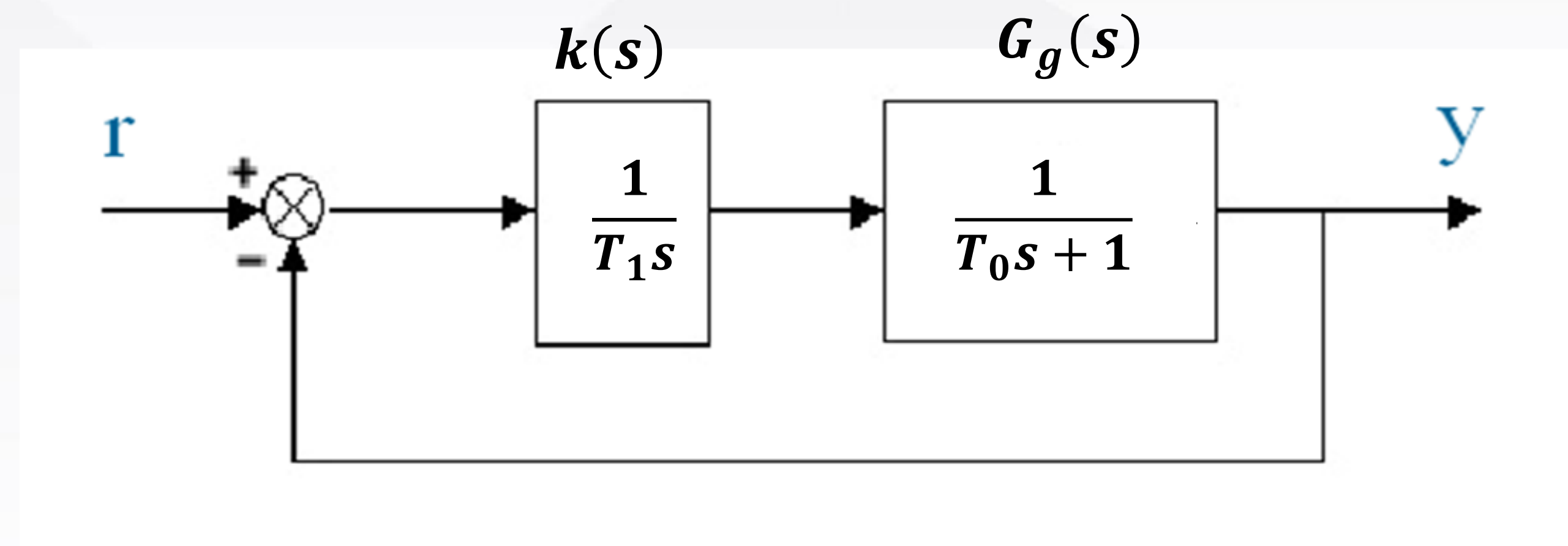
特征方程 $T_1s(T_0s + 1) + 1 = 0$

$$T_1T_0s^2 + T_1s + 1 = 0$$

$$T' = \sqrt{T_1T_0}, \zeta' = \frac{1}{2} \sqrt{\frac{T_1}{T_0}}$$

$t_s \approx \frac{3T'}{\zeta'} = 6T_0$, 与不加积分比较, 系统响应变慢。

无静差

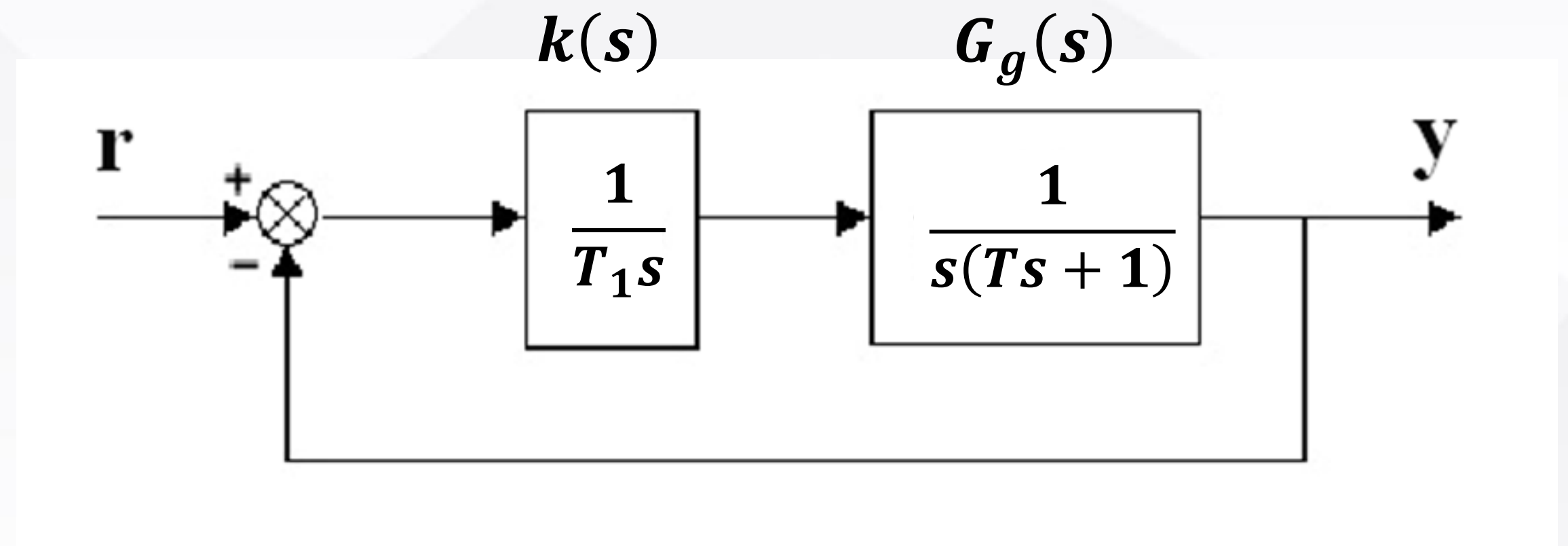


控制系统的校正

设 $G_g(s) = \frac{1}{s(Ts+1)}$, $G_{\text{开}}(s) = \frac{1}{T_1 s^2 (Ts+1)}$

特征方程: $T_1 T s^3 + T_1 s^2 + 1 = 0$

显然, **系统不稳定。**



可见, **加积分**

优点-对克服静差有利 (提高开环系统型次)

缺点-系统变慢, 甚至于不稳定

控制系统的校正

(3) 将上述两者结合起来，控制器改为比例加积分

$$k(s) = k_p \left(1 + \frac{1}{T_1 s} \right) = k_p \frac{T_1 s + 1}{T_1 s}, \quad \text{设 } G_g(s) = \frac{1}{T_0 s + 1}$$

$$\begin{aligned} G_{\text{闭}}(s) &= \frac{k_p (T_1 s + 1)}{T_1 s (T_0 s + 1) + k_p (T_1 s + 1)} = \frac{k_p (T_1 s + 1)}{T_1 T_0 s^2 + (k_p + 1) T_1 s + k_p} \\ &= \frac{T_1 s + 1}{\frac{T_1 T_0 s^2}{k_p} + \frac{k_p + 1}{k_p} T_1 s + 1} \xrightarrow{k_p \gg 1} \frac{T_1 s + 1}{\frac{T_1 T_0}{k_p} s^2 + T_1 s + 1} \\ &\approx \frac{T_1 s + 1}{(T_1 s + 1) \left(\frac{T_0}{k_p} s + 1 \right)} = \frac{1}{\frac{T_0}{k_p} s + 1} \end{aligned}$$

控制系统的校正

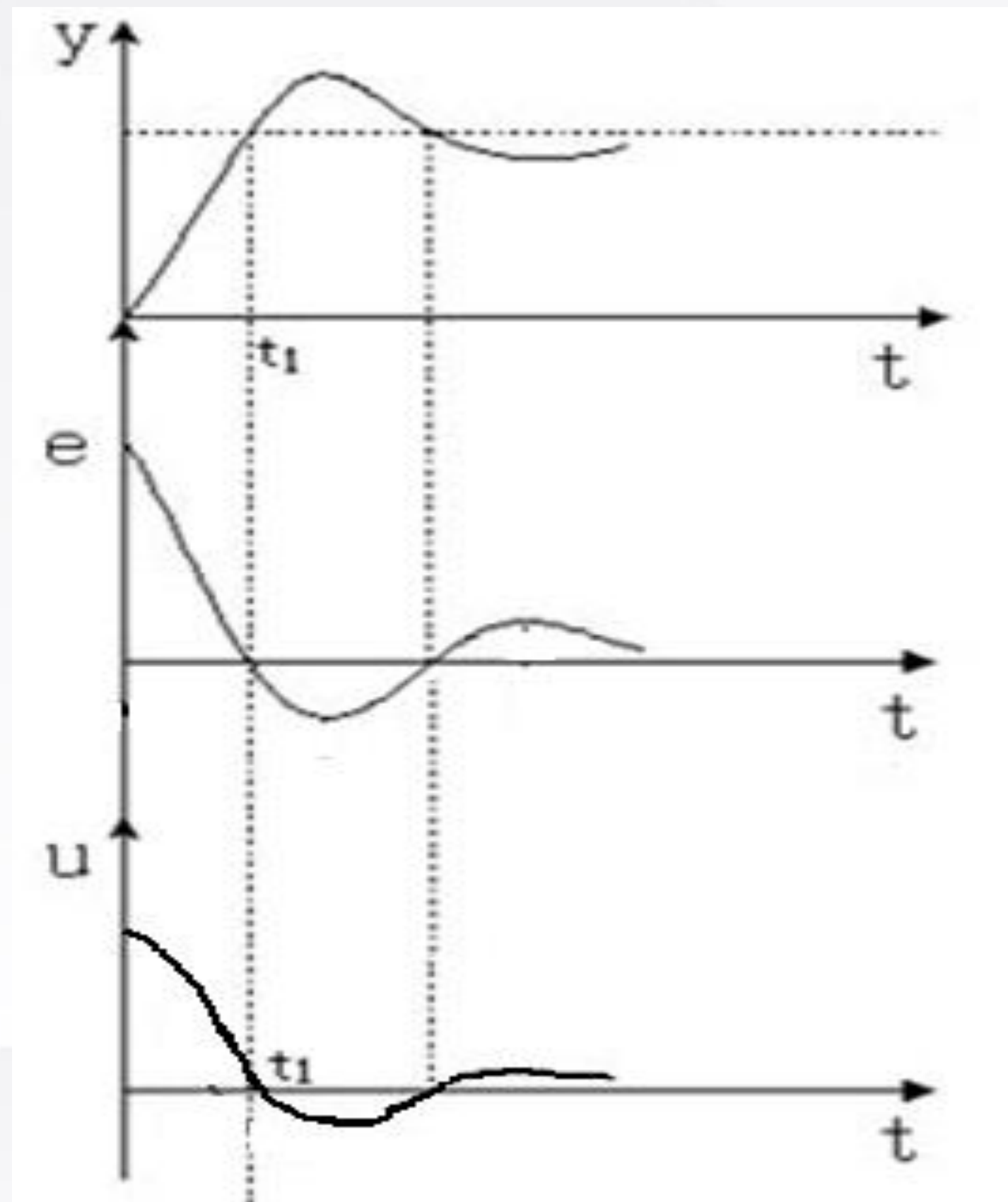
比例加积分控制的优点：

- 1) 积分对克服静态误差有利**
- 2) 两个参数可调，适当选择可同时改善静差和动态性能。**

滞后校正控制器

控制系统的校正

(4) 超调的控制



考虑比例控制器 $k(s) = k_p$

控制信号 $u(t) = k_p e(t)$

只要 $y(t) < 1, e(t) > 0$, 就产生使 $y(t)$ 增大的控制作用,
当 $t = t_1, e = 0$ 时, $y(t)$ 还在增加, 会出现超调现象

控制系统的校正

比例加微分

$$k(s) = k_p(1 + T_D s)$$

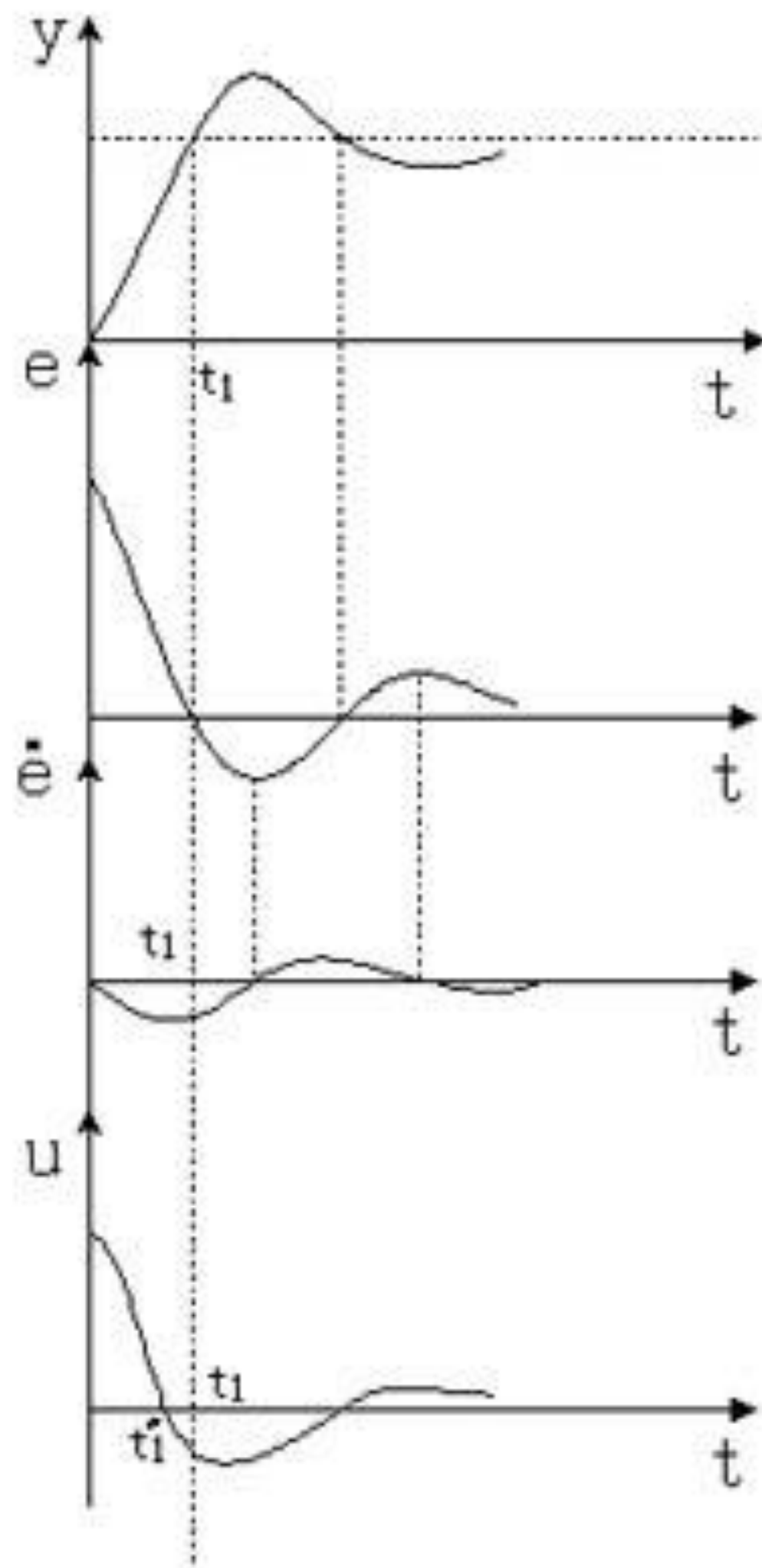
$$\text{控制信号 } u(t) = k_p e(t) + k_p T_D \frac{de(t)}{dt}$$

无微分作用只要 $y(t) < 1$, $e(t) > 0$, 就产生使 $y(t)$ 增大的控制作用, 当 $t = t_1$, $e = 0$ 时, $y(t)$ 还在增加, 会出现过头现象。

增加微分作用后, $u(t)$ 在 $t = t_1' < t_1$ 时为零, 在 t_1' 到 t_1 时段内 $u(t) < 0$, 抑制 $y(t)$ 的增加, 类似提前制动。

微分控制可预测被控量的变化趋势, 抑制超调, 改善动态性能

超前校正控制器



控制系统的校正

(5) 比例加积分加微分 PID

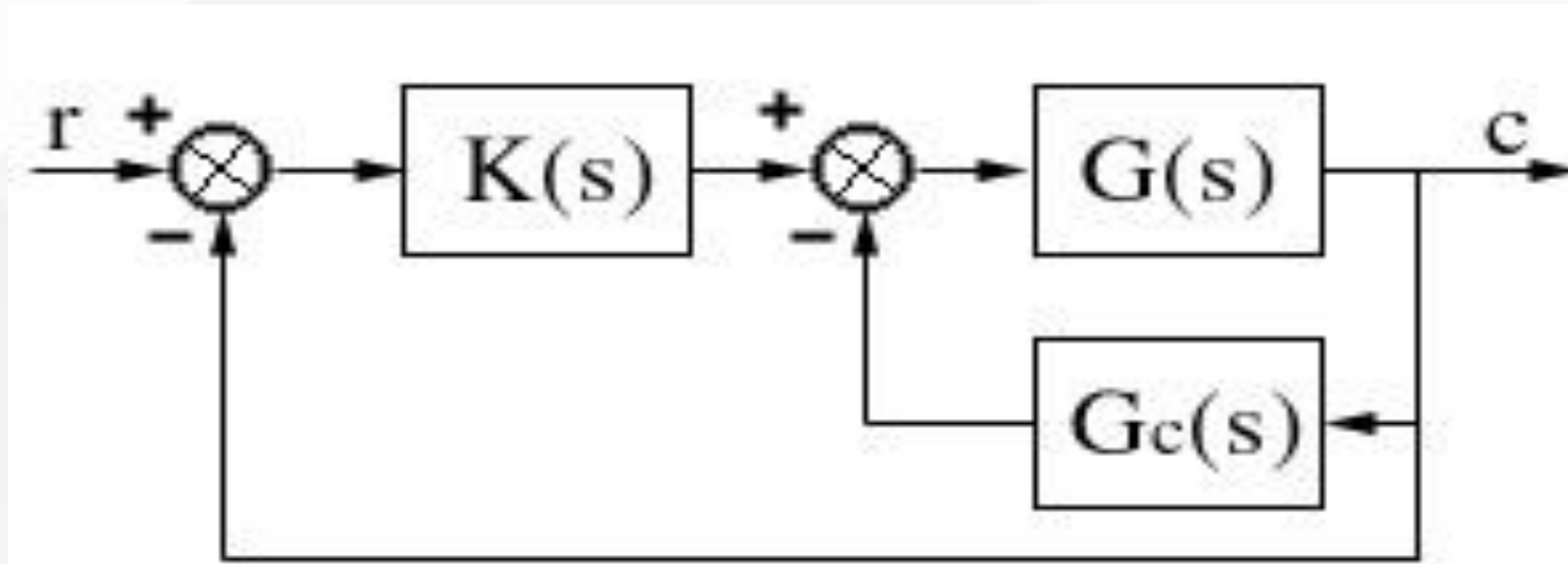
$$K(s) = K_p + \frac{1}{T_I s} + T_D s$$

超前滞后校正控制器

- PID控制器**综合了比例积分加微分的优点，兼顾控制系统的静态和动态性能**
- 参数具有明显的物理意义，直观易用
- 工业应用广泛，是最常用的控制器
- 实际应用有多种变型

控制系统的校正

2、局部反馈校正



采用局部反馈改善局部特性，再配以串联校正

设 $G(s) = \frac{K}{Ts + 1}$, $G_c(s) = k$

小闭环等效为 $\frac{\frac{K}{Ts + 1}}{1 + \frac{Kk}{Ts + 1}} = \frac{K}{Ts + 1 + kK} = \frac{\frac{K}{1 + kK}}{\frac{T}{1 + kK}s + 1}$ 当 $kK \gg 1$ 时 $\Rightarrow \frac{1}{k}$

当 G 中 T 较大时，采用局部反馈可减少惰性。